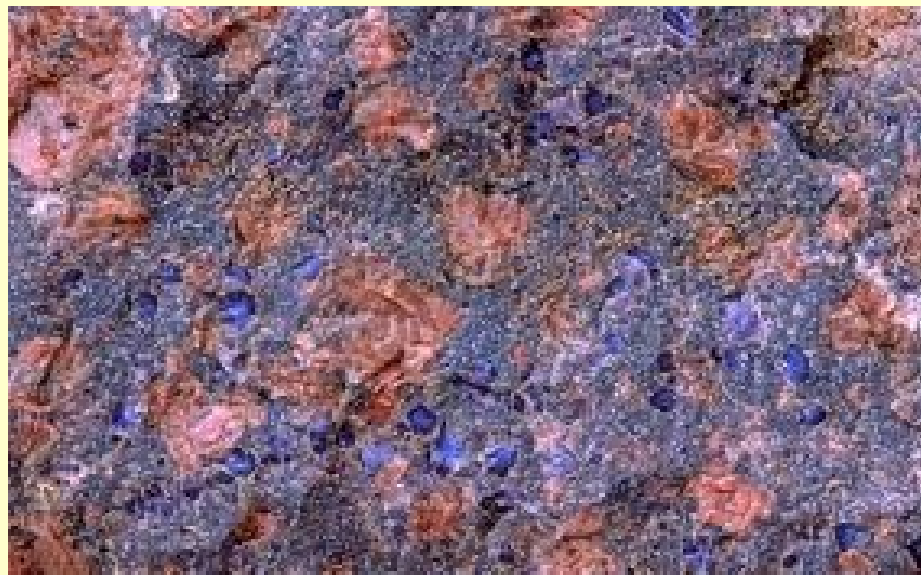


# Petrologie G3021

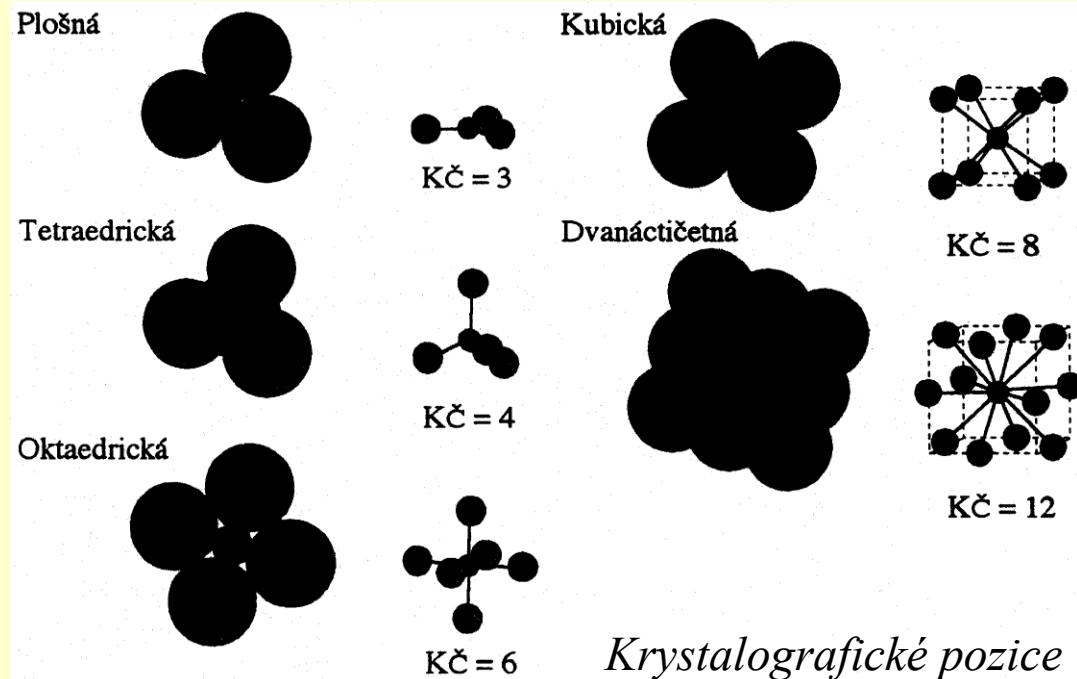
## 5. Minerály metamorfovaných hornin a termobarometrie



# Krystalochemie horninotvorných minerálů

- substituce jednoduché – stejný náboj/podobný at. poloměr – neomezená mísivost (Mg-Fe)
- odlišný at. poloměr – omezená mísivost (Mg-Ca)
- podvojné - atomy s nestejným nábojem ve dvou pozicích

↓ Důležité substituce



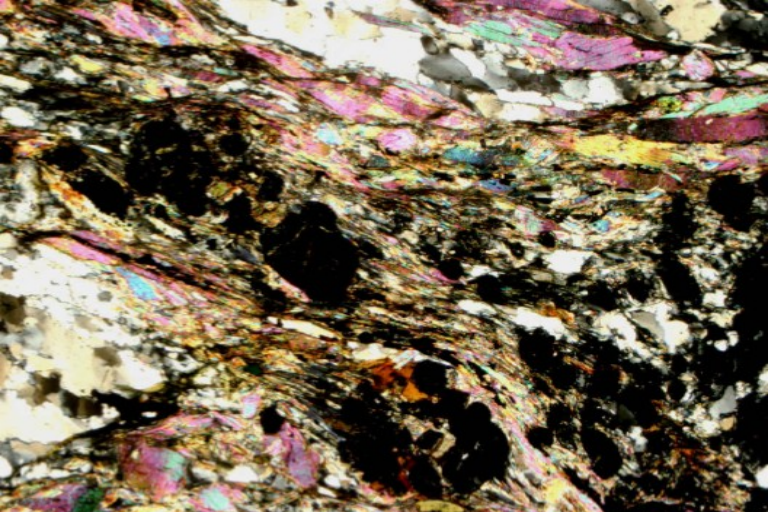
$\text{Fe}^{2+}\text{Mg}_{.1}$ (olivín, pyroxeny, amfiboly, AFM minerály)	$\text{Fe}^{3+}\text{Al}_{.1}$ (oxidy, epidot, $\text{Al}_2\text{SiO}_5$ )
$\text{Fe}^{2+}\text{Mn}_{.1}$ (karbonáty, granát, cordierit, chloritoid)	$\text{Cr}^{3+}\text{Al}_{.1}$ (spinely, pyroxeny, chlorit, amfiboly)
$\text{FOH}_{.1}$ (slídy, amfiboly)	$\text{CaMg}_{.1}$ (pyroxeny, amfiboly, granát, olivín, ...)
$\text{SiH}_{.1}$ (granát, olivín, jiné ortosilikáty)	$\text{KNa}_{.1}$ (slídy, živce, foidy)
$\text{MgSiAl}_{.2}$ (pyroxeny, amfiboly, slídy, chlorit, ...)	$\text{NaSiCa}_{.1}\text{Al}_{.1}$ (plagioklas, pyroxeny, amfiboly, ...)
	$\text{SiNa}_{.1}\text{Al}_{.1}$ (nefelín, amfiboly)
	$\text{CaMgNa}_{.1}\text{Al}_{.1}$ (pyroxeny, amfiboly)

# SYMBOLS FOR ROCK- AND ORE-FORMING MINERALS

Act	actinolite	Bn	bornite	Dum	dumortierite	Hs	hastingsite
Ae	aegirine	Brk	brookite	Eck	eckermannite	Hyn	häüyne
Ak	åkermanite	Brc	brucite	Ed	edenite	Hd	hedenbergite
Ab	albite	Bst	bustamite	Elb	elbaite	Hlv	helvite
Aln	allanite	Cpx	Ca clinopyroxene	En	enstatite	Hem	hematite
Alm	almandine	Cal	calcite	Ep	epidote	Hc	hercynite
Amp	amphibole	Ccn	cancrinite	Fa	fayalite	Hrd	herderite
Anl	analcime	Cst	cassiterite	Fac	ferro-actinolite	Hul	heulandite
Ant	anatase	Cls	celestite	Fcl	ferrocolumbite	Hbl	hornblende
And	andalusite	Cbz	chabazite	Fed	ferro-edenite	Hu	humite
Adr	andradite	Cc	chalcocite	Fs	ferrosilite	Ill	illite*
Anh	anhydrite	Ccp	chalcopyrite	Ftn	ferrotantalite	Ilm	ilmenite
Ank	ankerite	Chl	chlorite*	Fts	ferrotschermarkite	Jd	jadeite
Ann	annite	Cld	chloritoid	Fl	fluorite	Jh	johannsenite
An	anorthite	Chn	chondrodite	Fo	forsterite	Jsv	johnsomervilleite
Atg	antigorite	Chr	chromite	Gn	galena	Krs	kaersutite
Ath	anthophyllite	Ccl	chrysocolla	Grt	garnet*	Kls	kalsilite
Ap	apatite	Ctl	chrysotile	Ged	gedrite	Kln	kaolinite
Apo	apophyllite	Chu	clinohumite	Gh	gehlenite	Ktp	katophorite
Arg	aragonite	Cpx	clinopyroxene*	Gbs	gibbsite	Kfs	K-feldspar*
Arf	arfvedsonite	Czo	clinozoisite	Glt*	glauconite	Krn	kornerupine
Apy	arsenopyrite	Coe	coesite	Gln	glaucophane	Ky	kyanite
Asp	aspidotite	Crd	cordierite	Gt	goethite	Ltp	latrappite
Aug	augite	Crn	corundum	Gft	graftonite	Lmt	laumontite
Brt	barite	Cv	covellite	Gdd	grandidierite	Lws	lawsonite
Bet	betafite	Crs	cristobalite	Gr	graphite	Lpd	lepidolite*
Brl	beryl	Cum	cummingtonite	Gre	greenalite	Lct	leucite
Bry	berylonite	Dsp	diaspore	Grs	grossular	Lz	lizardite
Beu	beusite	Dg	digenite	Gru	grunerite	Lol	löllingite
Bt	biotite*	Di	diopside	Gp	gypsum	Lop	loparite
Bhm	böhmite	Dol	dolomite	Hl	halite	Lue	lueshite
Bor	boralsilite	Drv	dravite	Ham	hambergite	Mgh	maghemite

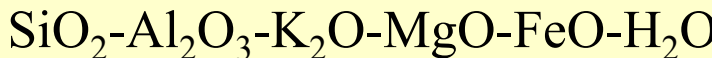
Mkt	magnesiokatophorite	→	Opx	orthopyroxene*		Rdn	rhodonite	→	Tlc	talc
Mrb	magnesioriebeckite		Osm	osumilite	→	Rt	rutile		Tap	tapiolite
Mgs	magnesite		Pg	paragonite		Sa	sanidine		Tep	tephroite
Mgt	magnetite		Prg	pargasite		Spr	sapphirine		Thm	thomsonite
Mcl	manganocolumbite		Pct	pectolite		Sar	sarcopside	→	Ttn	titanite
Mtn	manganotantalite		Pn	pentlandite	→	Scp	scapolite*		Toz	topaz
Mrg	margarite		Per	periclase		Srl	schorl		Tur	tourmaline*
Mel	melilite		Prv	perovskite		Skn	sekaninaite	→	Tr	tremolite
Mc	microcline	←	Phk	phenakite		Srp	serpentine*		Trd	tridymite
Mic	microlite		Phl	phlogopite		Sd	siderite		Tph	triphylite
Min	minnesotaite		Pgt	pigeonite	→	Sil	sillimanite		Tro	troilite
Mlb	molybdenite	→	Pl	plagioclase		Sdl	sodalite		Ts	tschermakite
Mnz	monazite		Pmc	plumbomircrolite	→	Sps	spessartine	→	Usp	ulvöspinel
Mtc	monticellite		Pol	pollucite		Sp	sphalerite		Umc	uranmicrolite
Mnt	montmorillonite		Prh	prehnite	→	Spl	spinel		Vrm	vermiculite
Mul	mullite		Prm	prismatine		Spd	spodumene	→	Ves	vesuvianite
Ms	muscovite	←	→ Pmp	pumpellyite	→	St	staurolite		Vtm	viitaniemiite
Ntr	natrolite		Py	pyrite		Stl	stellerite		Wai	wairakite
Ne	nepheline	→	Prp	pyrope		Stb	stibiobetafite		Wrd	werdingite
Nrb	norbergite		Prl	pyrophyllite		Stm	stibiomircrolite		Wth	witherite
Nsn	nosean		Po	pyrrhotite		Stb	stilbite	→	Wo	wollastonite
Ol	olivine*	←	→ Qtz	quartz		Stp	stilpnomelane		Wus	wüstite
Omp	omphacite		Rbk	riebeckite		Sti	stishovite		Zrn	zircon
Or	orthoclase	←	Rds	rhodochrosite		Str	strontianite	→	Zo	zoisite

- **Důležité horninotvorné minerály metamorfovaných hornin**
- Křemen a další polymorfy  $\text{SiO}_2$
- Živce (plagioklasy – albit, anortit, ortoklas, sanidin)  $\text{CaAl}_2\text{Si}_2\text{O}_8$ - $\text{NaAl}_2\text{Si}_3\text{O}_8$
- Biopyriboly = pyroxeny (enstatit, ferosilit, diopsid, hedenbergit, jadeit, omfacit)  
amfiboly (aktinolit, tremolit, obecný amfibol, glaukofan)  
slídy (muskovit, biotit, paragonit, flogopit), mastek, pyrofylit
- Skupina olivínu (olivín, forsterit)  $\text{Mg}_2\text{SiO}_4$
- Granáty (almandin, pyrop, grossular)  $\text{X}^{\text{II}}_3\text{Y}^{\text{III}}_2(\text{SiO}_4)_3$
- Epidotová skupina (epidot, zoosit, klinozososit, pumpellyit)
- Alumosilikáty (sillimanit, andalusit, kyanit)
- Al-bohaté minerály (staurolit, chloritoid, diaspor)
- Jiné silikáty (cordierit, chlority, wollastonit, lawsonit, prehnit)
- Zeolity (analcim, heulandit, laumontit, stilbit)
- Karbonáty (kalcit, dolomit)
-

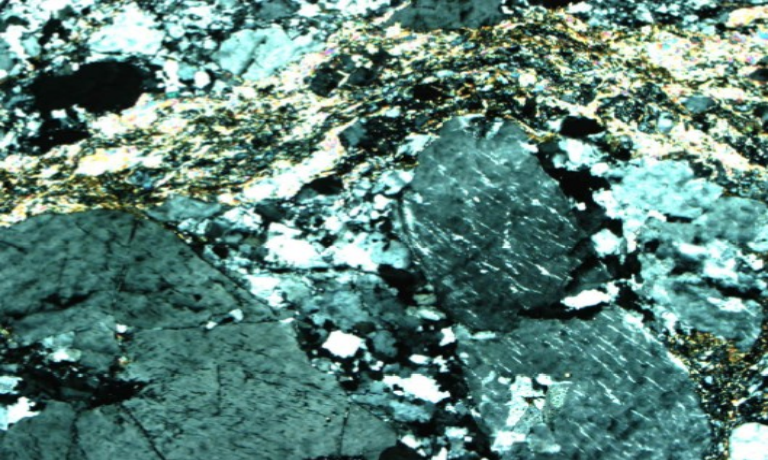


## Minerály metapelitů a ortorul

**Metapelity** (fylit, svor, rula)



**Minerály:** křemen, plagioklas, muskovit, (draselný živec), biotit,  $\text{Al}_2\text{SiO}_5$ , chloritoid, chlorit, staurolit, cordierit, granát



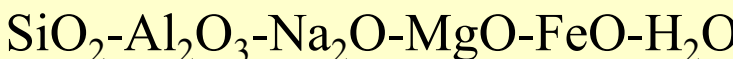
**Křemen-živcové horniny (ortoruly)**



**Minerály:** křemen, plagioklas, draselný živec, muskovit, biotit, granát



**Metabazity** (zelená břidlice, amfibolit, modrá břidlice, eklogit)



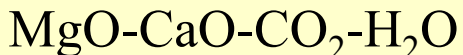
**Minerály:** plagioklas, amfiboly, křemen, chlorit, granát, zeolity, epidotová skupina, pyroxeny

## **Minerály hornin bohatých na Ca a Mg**

**Vápenatosilikátové horniny**



**Metakarbonáty**



**Křemité dolomity**



**Ultramafity**

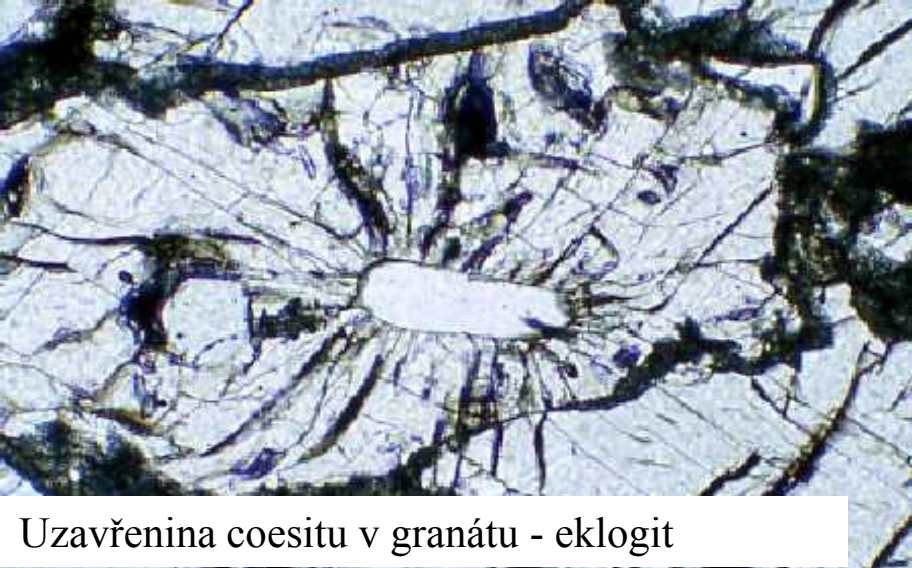


**Minerály:** pyroxeny, vesuvian, granát, Ca-Mg amfiboly, olivín, wollastonit, minerály serpentinové skupiny, (křemen, plagioklas), spinelidy.

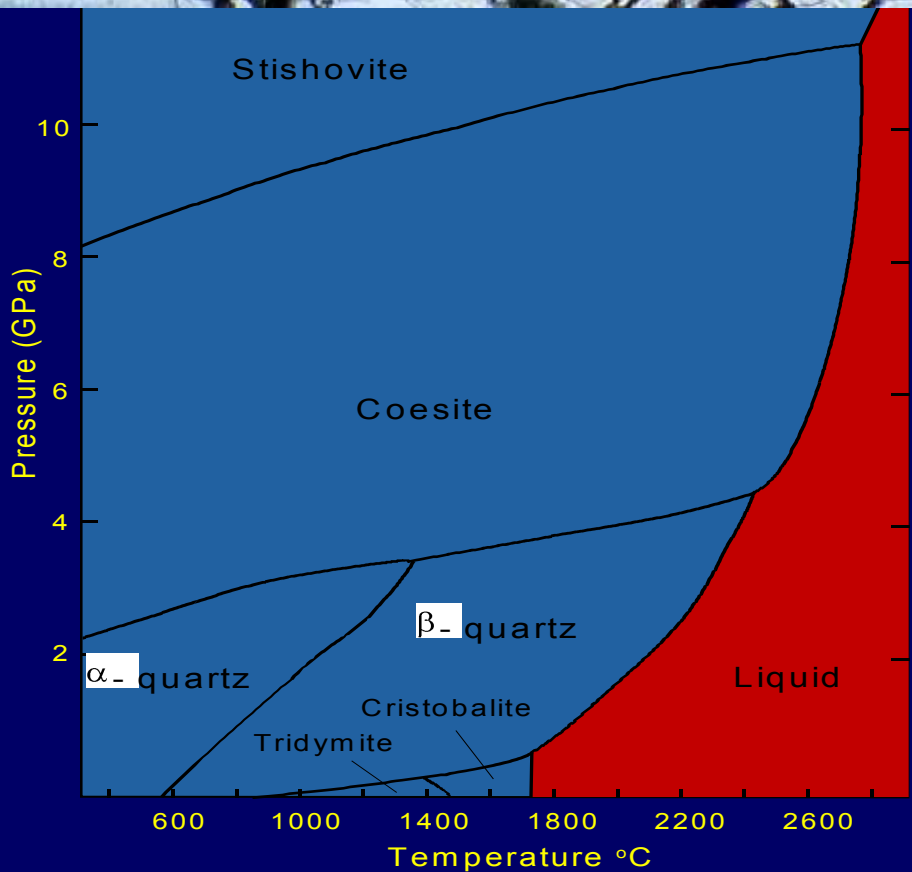
**ultramafity – serpentinit, mastková břidlice, chloritická břidlice**

**vápenatosilikátové horniny – pyroxenická rula (erlán), rodingit, skarn**

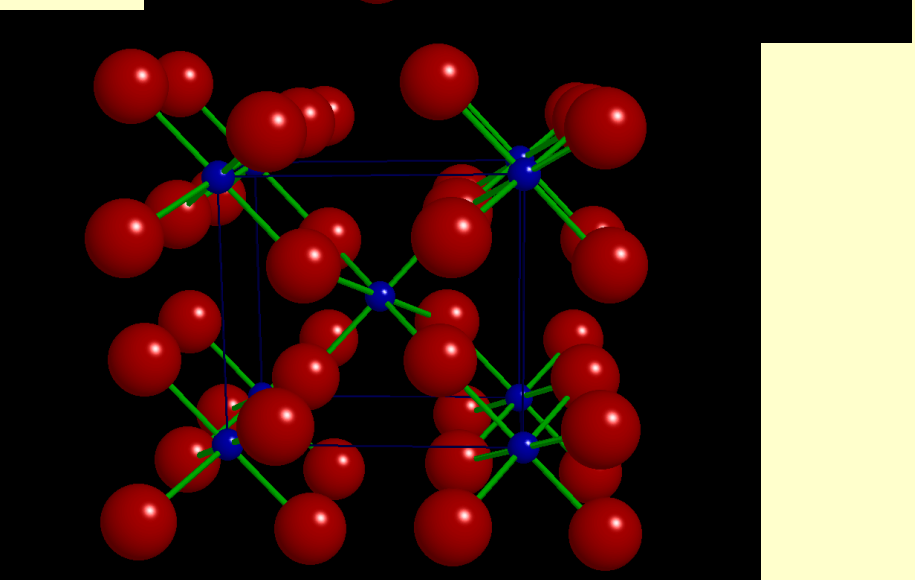
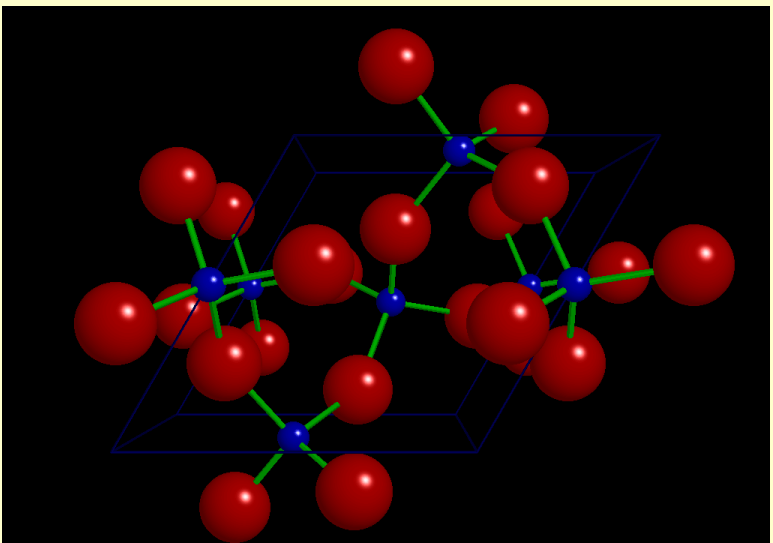
# Křemen ( $\text{SiO}_2$ )



Uzavřenina coesitu v granátu - eklogit



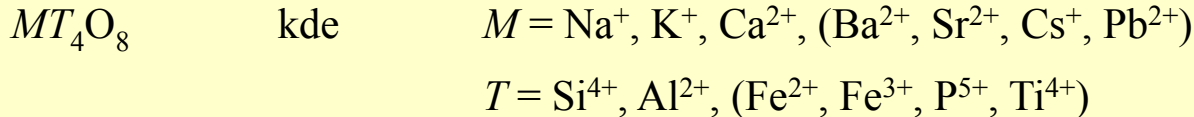
Nižší křemen  $\text{Si}^{\text{IV}}$



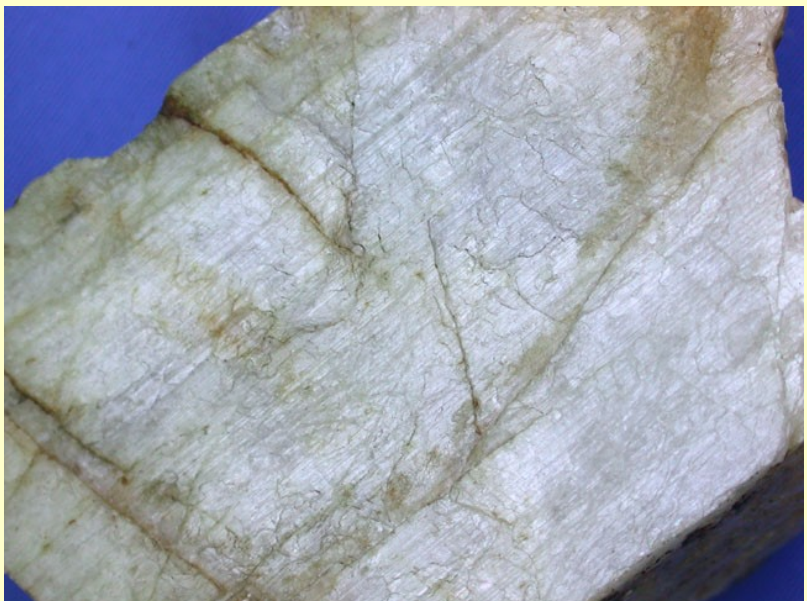
Stishovit  $\text{Si}^{\text{VI}}$

# Živce

- bezvodé tektoalumosilikáty s obecným vzorcem:



- jsou nejrozšířenější minerály v zemské kůře
- tvoří 59 objemových % zemské kůry
- jsou součástí svrchního pláště
- spodní plášť a jádro živce neobsahují
- připadá na ně asi 0,2 % hmotnosti planety



**alkalické živce (ortoklas, mikroklin a albit do 5% An)**

- izomorfní řada albit – ortoklas
- izovalentní zastupování  $\text{Na}^+$  za  $\text{K}^+$
- **Sanidin**  $(\text{K},\text{Na})(\text{Si},\text{Al})_4\text{O}_8$
- **Draselný živec** -  $\text{KAlSi}_3\text{O}_8$

**sodnovápenaté živce (plagioklasy)**

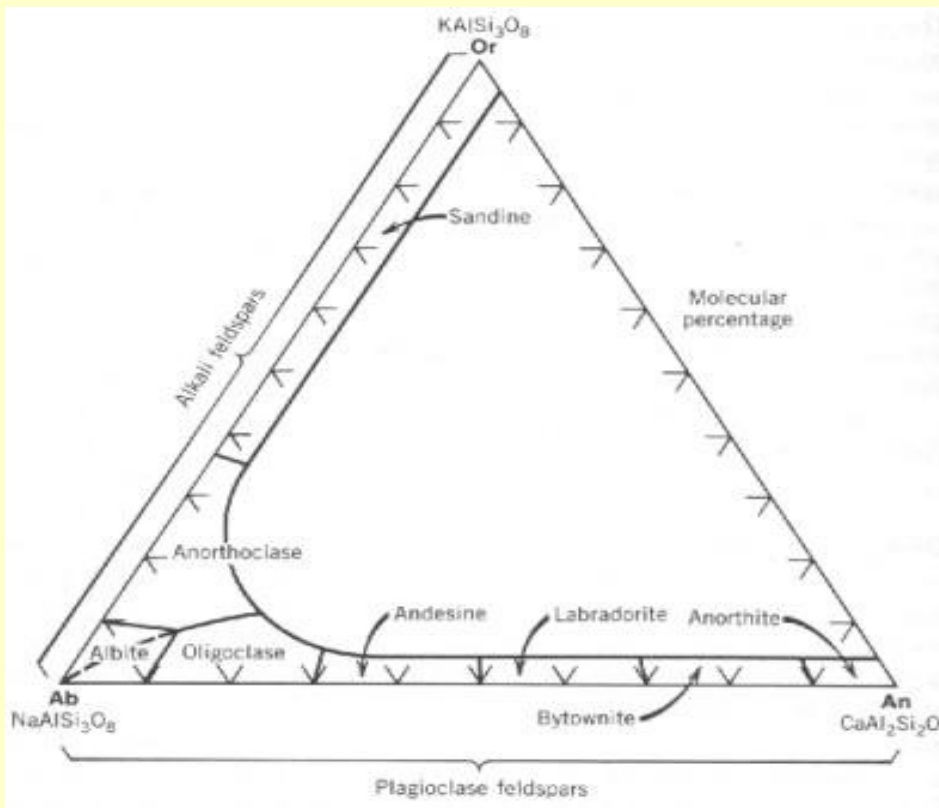
- úplná izomorfní řada albit – anortit
- heterovalentní zastupování  $\text{Na}^+$  za  $\text{Ca}^{2+}$  valence se kompenzují zastupováním  $\text{Si}^{4+}$  za  $\text{Al}^{3+}$
- **Albit** -  $\text{NaAlSi}_3\text{O}_8$
- **Anortit** -  $\text{CaAl}_2\text{Si}_2\text{O}_8$

# Alkalické živce

Výskyt: ortoruly, granuly, vysokoteplotní kontaktní rohovce (sanidin)

## Plagioklasy

Za teplot pod 400 °C se v systému  $\text{NaAlSi}_3\text{O}_8$  -  $\text{CaAl}_2\text{Si}_2\text{O}_8$  vyskytuje buď albit nebo anortit. Okolo 500 °C dochází ke skokové změně z albitu na oligoklas (peristeritová díra).



- Albit → zelené břidlice, fylity
- Oligoklas → ruly, amfibolity
- Andesin → Andesin
- Labradorit → Labradorit
- Bytownit → Bytownit
- Anortit → Anortit

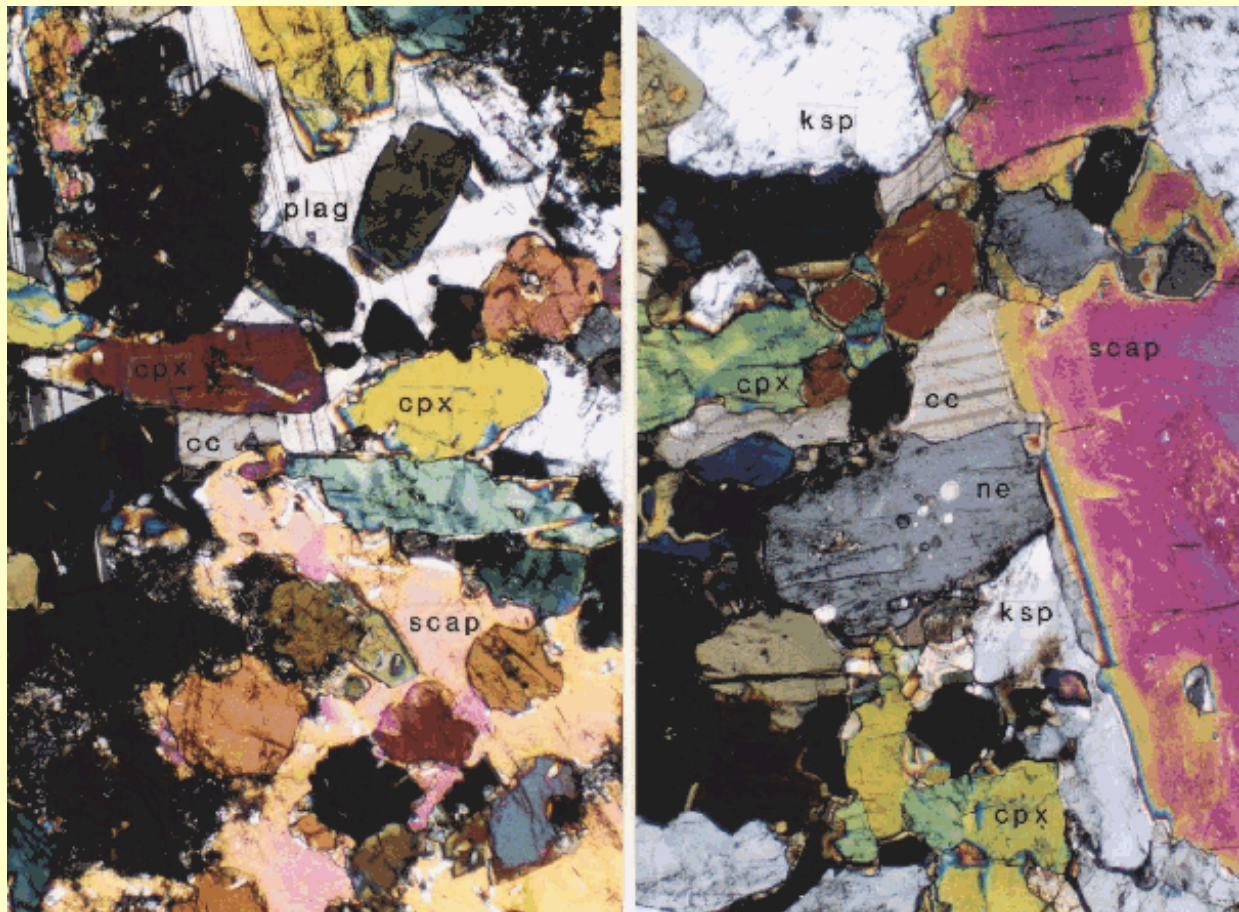
vápenato-silikátové horniny

- využití v termometrii: barometry (např. GASP) a termometr pomocí solvu
- živce podléhají přeměnám na jiné minerály
- bývají postiženy celé krystaly, jednotlivé růstové zóny nebo systémy dvojčatných lamel

## Přeměny:

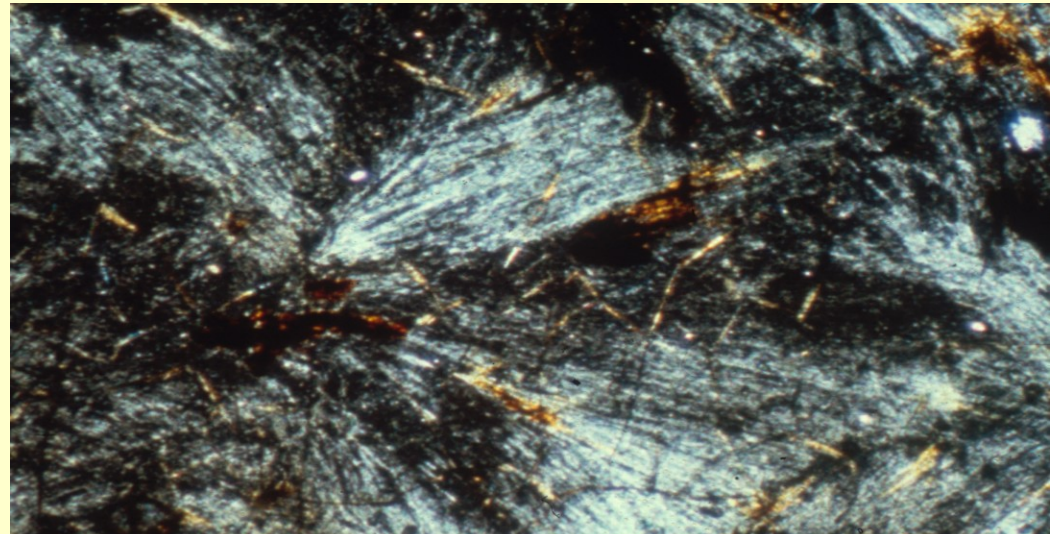
- myrmekitizace: orientovaný srůst draselného živce a vápenatého plagioklasu,
  - zatlačování draselného živce plagioklasem - odnos K a přínos Ca a Na
  - plagioklas tvoří v draselném živci útvary podobné chodbičkám
  - termínem myrmekit se také označují agregáty tvořené živcem a křemenem
- sericitizace: přeměna na agregát jemnozrnného muskovitu (tzv. sericitu)
  - často je sericit doprovázen albitem
  - vzniká působením hydrotermálních roztoků na alkalické živce
- kaolinitizace: přeměna alkalických živců na kaolinit
  - probíhá při zvětrávání ve slabě kyselém prostředí
  - muže k ní docházet působením hydrotermálních roztoků
- saussirizace: přeměna vápníkem bohatých plagioklasů na jemnozrnný agregát různých minerálů,
  - nejčastěji epidotu (klinozoisitu), albitu, křemene, kalcitu, sericitu, skapolitu, vesuvianu atd.
  - probíhá za nízkoteplotních metamorfních a metasomatických podmínek

- **Skupina skapolitu**
- metabazity, karbonátové horniny, metaevapority
- kompletní míšivost mezi **marialitem** ( $3\text{NaAlSi}_3\text{O}_8 \cdot \text{NaCl}$ ) a **meionitem** ( $3\text{CaAl}_2\text{Si}_2\text{O}_8 \cdot \text{CaCO}_3$  nebo  $\text{CaSO}_4$ )
- tetragonální
- tektosilikáty
- Skapolit ve vyvřelé hornině ovlivněné asimilací: minerální složení augit (cpx), plagioklas (plag), skapolit (scap), kalcite (cc) nefeline (ne) draselný živec (ksp)

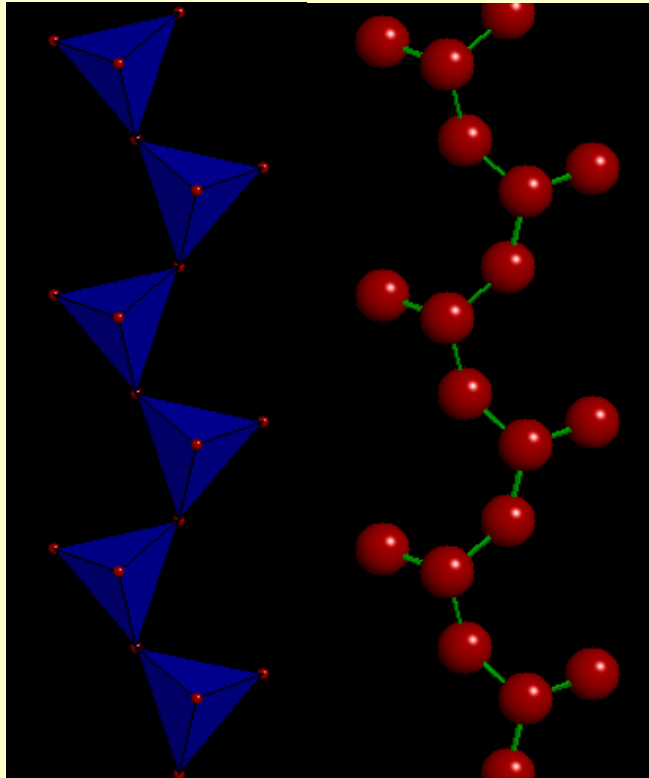


## Skupina zeolitů

- skupina hydratovaných tektoalumosilikátů
- velké (obvykle 0,3–0,8 nm) dutiny a kanály ve struktuře
- v dutinách jsou nepříliš pevně vázány molekuly  $\text{H}_2\text{O}$  (tzv. “zeolitová voda”), kationty alkalických kovů ( $\text{Na}^+$ ,  $\text{K}^+$ ,  $\text{Li}^+$ ,  $\text{Cs}^+$ ) a alkalických zemin ( $\text{Ca}^{2+}$ ,  $\text{Mg}^{2+}$ ,  $\text{Ba}^{2+}$ ,  $\text{Sr}^{2+}$ ).
- obecný vzorec skupiny lze napsat:  $\text{M}_x\text{D}_y[\text{Al}_{x+2y}\text{Si}_{n-(x+2y)}\text{O}_{2n}] \cdot m\text{H}_2\text{O}$
- kde:  $\text{M} = \text{Na}^+, \text{K}^+, \text{Li}^+$  a  $\text{D} = \text{Ca}^{2+}, \text{Sr}^{2+}, \text{Ba}^{2+}, \text{Mg}^{2+}$
- zeolity vznikají v některých slabě regionálně metamorfovaných horninách (zeolitová facie) a některých kontaktních metamorfitech (slabě metamorfované bazické horniny a jejich tufy)
- **Analcim** - krychlový
- $\text{NaAlSi}_2\text{O}_6 \cdot 6\text{H}_2\text{O}$
- **Natrolit** - kosočtverečný
- $\text{Na}_2\text{Al}_2\text{Si}_3\text{O}_{10} \cdot 2\text{H}_2\text{O}$
- **Chabazit** - trigonální
- $\text{CaAlSi}_2\text{O}_6 \cdot 3\text{H}_2\text{O}$

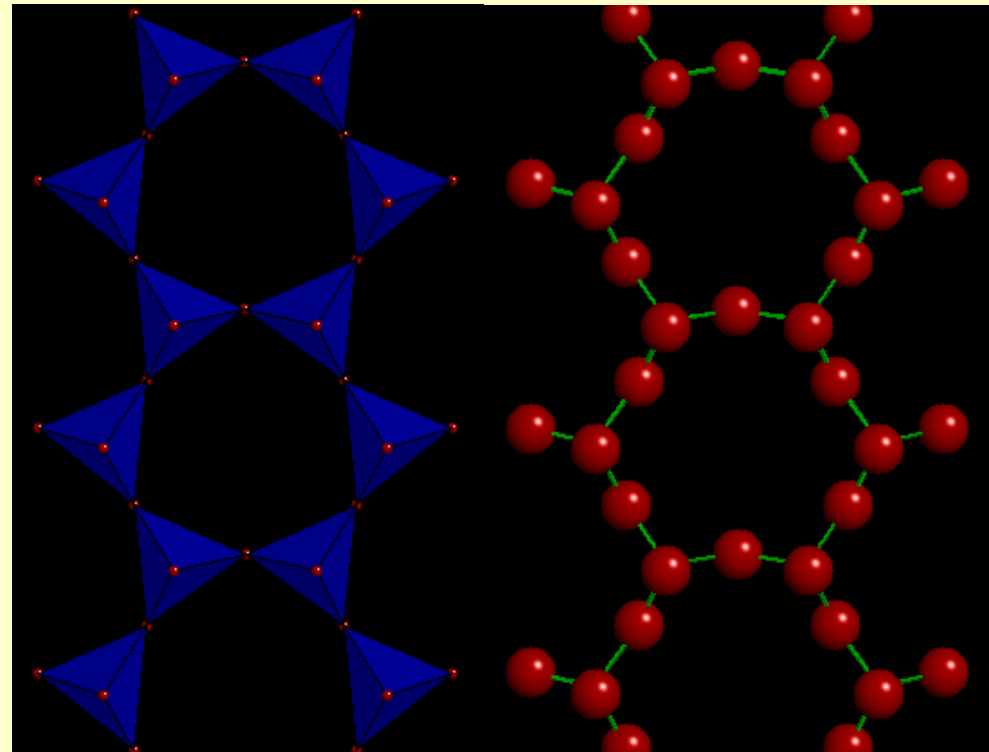


# Inosilikáty



$[\text{SiO}_3]^{2-}$  jednoduché řetězy

pyroxeny



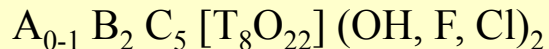
Inosilikáty

$[\text{Si}_4\text{O}_{11}]^{4-}$  dvojité řetězy

amfiboly

# Amfiboly

Obecný vzorec:

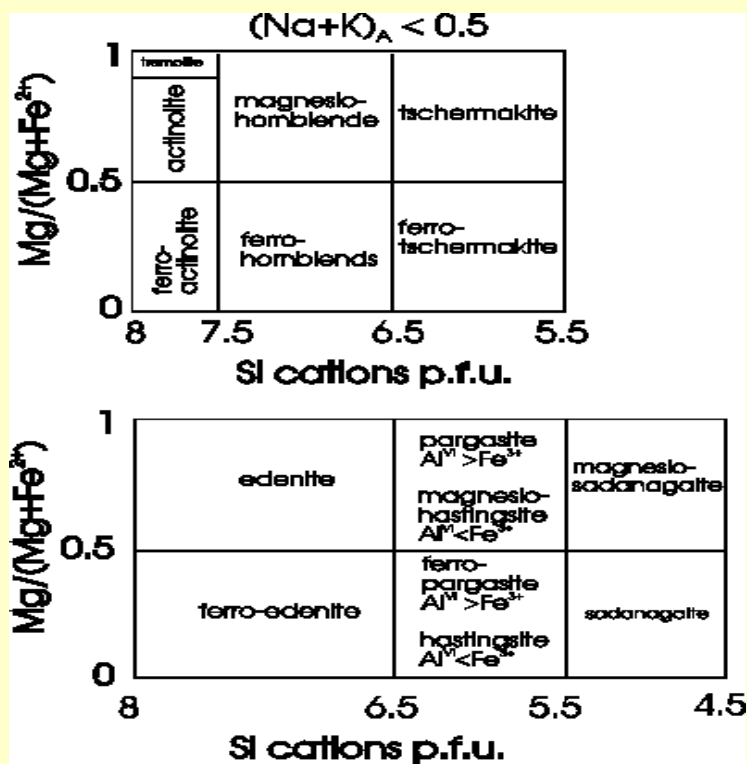


A = Na K

B = Ca Na Mg Fe<sup>2+</sup> (Mn Li)

C = Mg Fe<sup>2+</sup> Mn Al Fe<sup>3+</sup> Ti

T = Si Al



- amfiboly jsou monoklinické a rombické
  - je popsáno cca 75 koncových členů
  - široká izomorfní mísivost
  - amfiboly můžeme rozdělit na :
    - (a) Mg–Fe amfiboly,
    - (b) Ca-amfiboly,
    - (c) alkalické amfiboly
- substituce v amfibolitech umožňují využít tento minerál pro určení tlaku, teploty a fugacity kyslíku

Holland a Blundy (1994) publikovaly nejnovější empirickou kalibraci amfibol-plagioklasového termometru. Je tvořen dvěma na reakcemi:

A) edenit-tremolit reakce je použitelná pro metabazity v nichž je zastoupen křemen.



$$T = \frac{-76.95 + 0.79P + Y_{Ab} + 39.4X_{\text{Na}}^{[\text{A}]} + 22.4X_{\text{K}}^{[\text{A}]} + (41.5 - 2.89P)X_{\text{Al}}^{[\text{M2}]}}{-0.0650 - R \ln \left( \frac{27X_{\text{vac}}^{[\text{A}]} X_{\text{Si}}^{[\text{T1}]} X_{Ab}^{Pl}}{256X_{\text{Na}}^{[\text{A}]} X_{\text{Al}}^{[\text{T1}]} } \right)}$$

$$\text{for } X_{Ab}^{Pl} > 0.5 : Y_{Ab} = 0$$

$$\text{for } X_{Ab}^{Pl} \leq 0.5 : Y_{Ab} = 12(1 - X_{Ab}^{Pl})^2 - 3$$

B) edenit-richteritová reakce je vhodná také pro horniny bez křemene.



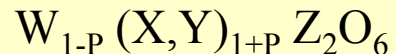
$$T = \frac{78.44 + Y_{Ab-An} - 33.6X_{\text{Na}}^{[\text{M4}]} - (66.8 - 2.92P)X_{\text{Al}}^{[\text{M2}]} + 78.5X_{\text{Al}}^{[\text{T1}]} + 9.4X_{\text{Na}}^{[\text{A}]}}{0.0721 - R \ln \left( \frac{27X_{\text{Na}}^{[\text{M4}]} X_{\text{Si}}^{[\text{T1}]} X_{Ab}^{Pl}}{64X_{\text{Ca}}^{[\text{M4}]} X_{\text{Al}}^{[\text{T1}]} X_{Ab}^{Pl}} \right)}$$

$$\text{for } X_{Ab}^{Pl} > 0.5 : Y_{Ab-An} = 3$$

$$\text{for } X_{Ab}^{Pl} \leq 0.5 : Y_{Ab-An} = 12(2X_{Ab}^{Pl} - 1)^2 + 3$$

# Chemizmus Pyroxenů

Obecný vzorec pyroxenů:



- W = Ca Na
- X = Mg Fe<sup>2+</sup> Mn Ni Li
- Y = Al Fe<sup>3+</sup> Cr Ti
- Z = Si Al

- pyroxeny mají monoklinickou (klinopyroxeny, cpx.) a rombickou (ortopyroxeny, opx.) symetrii
- bezvodé minerály
- při retrográdní metamorfóze mění na amfiboly
- za nižších PT podmínek snadno podléhají přeměnám: enstatit na serpentinové minerály, augit na chlority, cpx a opx na amfiboly (uralitizace)

## Pyroxene End-Members with site-occupancies and symmetries

M2	M1	T <sub>2</sub>	O <sub>6</sub>	
Mg	Mg	Si	Enstatite	Orthorhombic
Fe <sup>2+</sup>	Fe <sup>2+</sup>		Ferrosilite	
Ca	Mg		Diospide	
Ca	Fe <sup>3+</sup>		Hedenbergite	
Ca	Mn		Johannsenite	
Na	Al		Jadelite	Monoclinic
Na	Fe <sup>3+</sup>	↓	Aegerine	
Ca	Al	Al <sub>2</sub> Si	Ca-Tschermaks	
Mg	Al	Al <sub>2</sub> Si	Mg-Tschermaks	

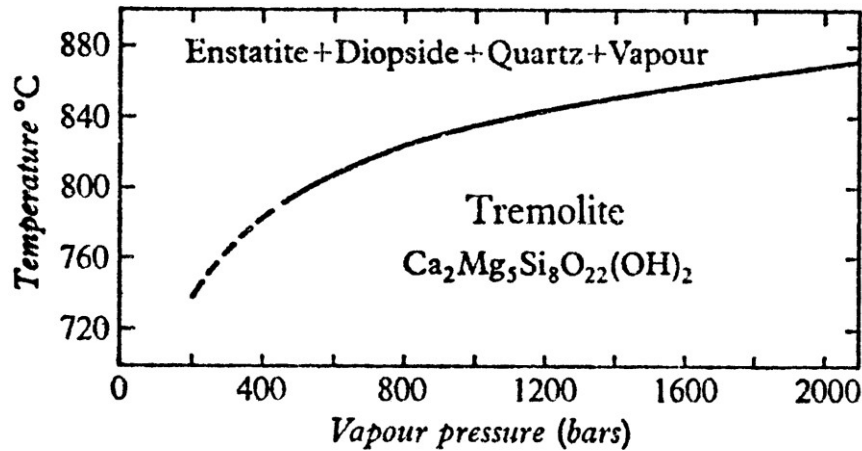


FIG. 65. The univariant equilibrium curve for the reaction  $\text{tremolite} \rightleftharpoons \text{enstatite} + \text{diopside} + \text{quartz} + \text{vapour}$  (after Boyd, 1954).



### Příklad využití pyroxenu v metamorfí petrologii:

- Garnát-Cpx-fengitový barometr Holland and Powell (1990, J Metamorphic Geol. 8, 89-124)
- založeno na reakci **pyrope + 2grossular = 6diopside + 3Al<sub>2</sub>Mg<sub>1</sub>Si<sub>1</sub>**
- P-T rozsah barometru 6 - 40 kbar, 400 - 900°C
- $P(\text{kbar}) = 28.05 + 0.02044T - 0.002995T.\ln K$  (T = teplota v kelvinech)

• Jednoklonný pyroxen: augit



• Alkalické pyroxen: egerin - NaFeSi<sub>2</sub>O<sub>6</sub>

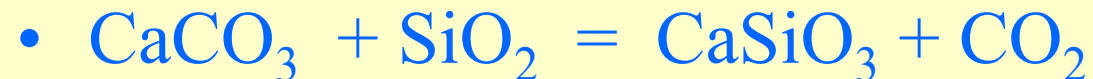
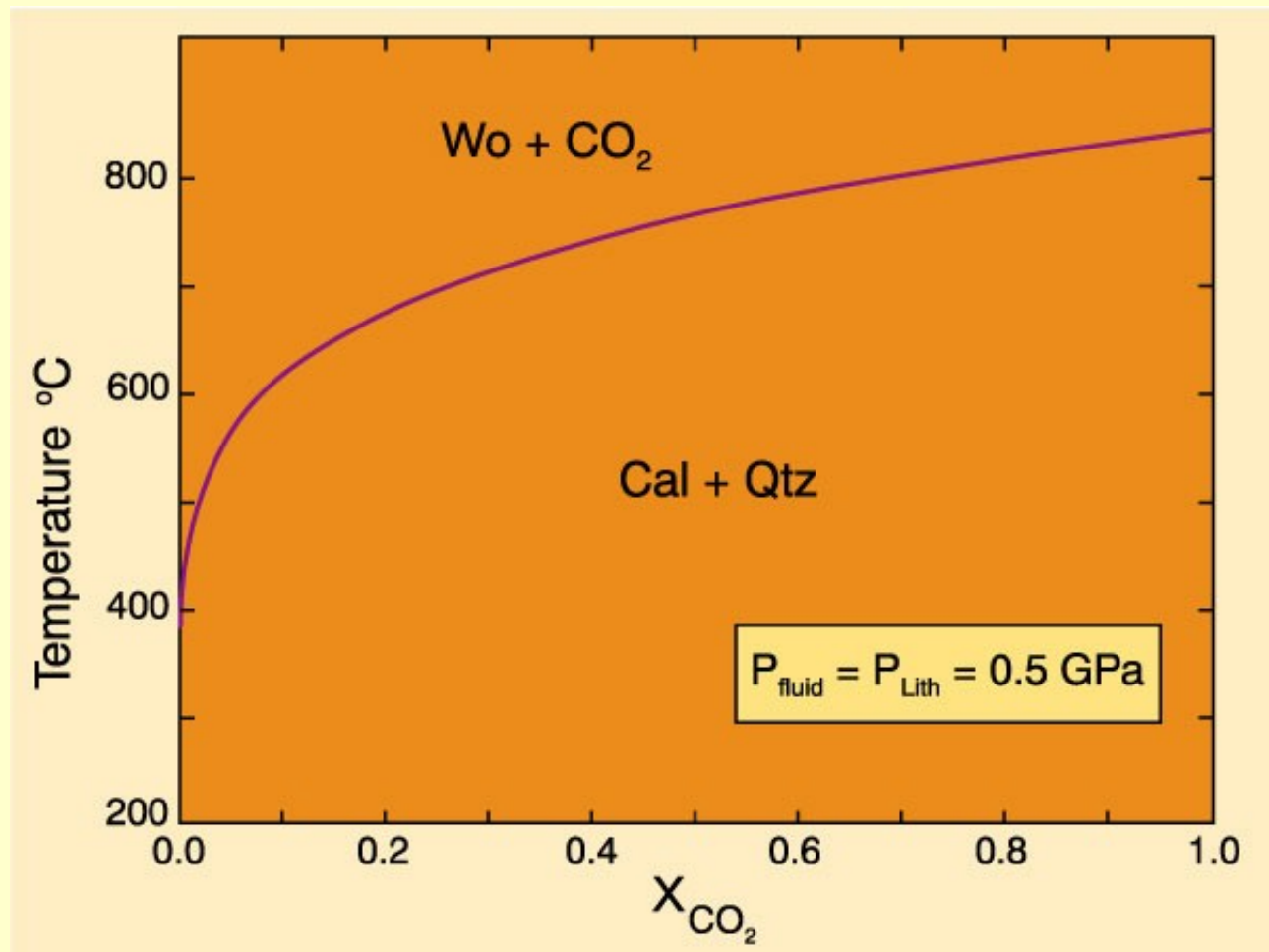


Kosočtverečný pyroxen



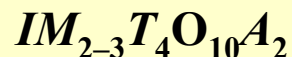
# Wollastonit

- $\text{CaSiO}_3$
- blízce příbuzný pyroxenům (Pyroxenoid)
- mramory, erlany, skarny



## Skupina slíd

- Skupina významných horninotvorných minerálů, trojvrstevních fylosilikátů s obecným vzorcem:



- kde:

$I = K^+, Na^+, \dots$  (mezivrstevní kationty)

$M = Li^+, Al^{3+}, Fe^{3+}, Mg^{2+}, Fe^{2+}$ . (ve středech oktaedrů)

$T = Si, Al, Fe^{3+}, \dots$  (ve středech tetraedrů)

$A = OH^-, F^-, \dots$



## Koncové členy muskovitu a biotitu

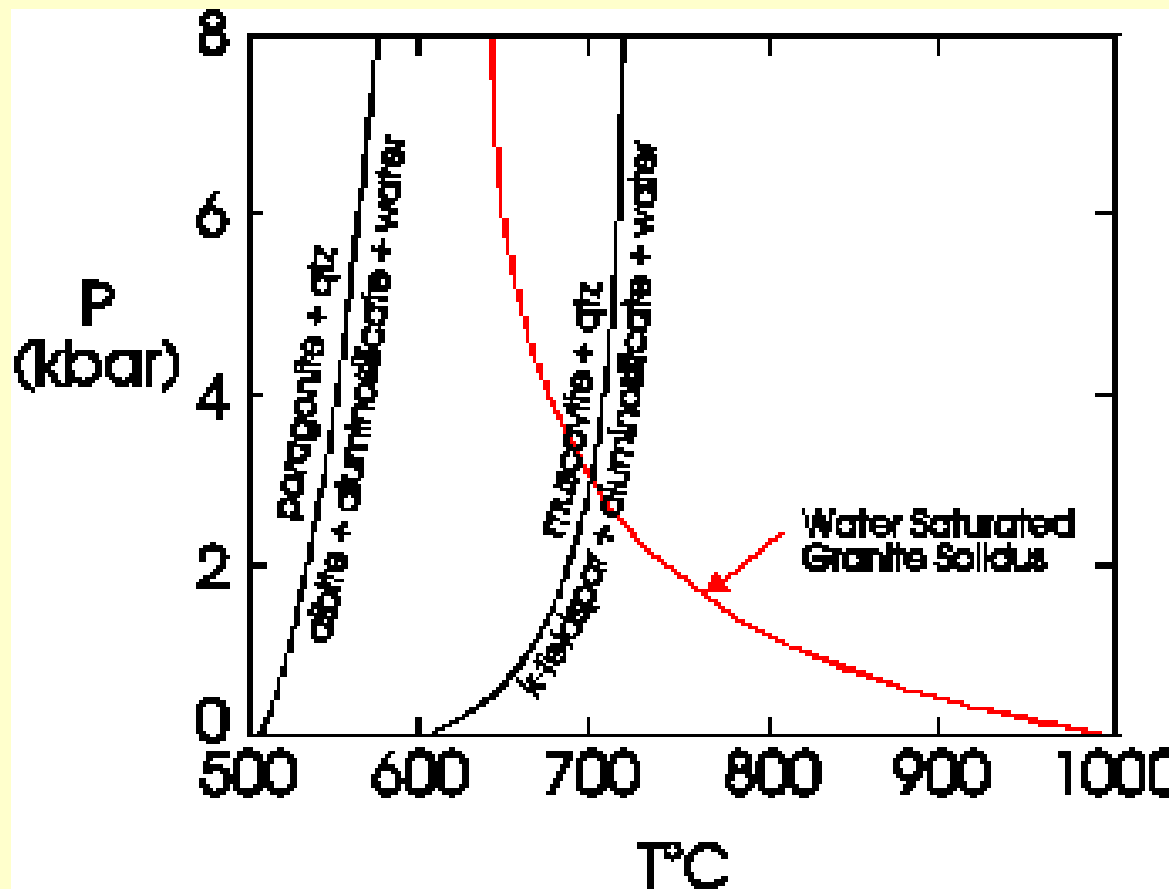
### Biotit

- $KMg_3[AlSi_3]O_{10}(OH)_2$  : flogopit
- $KFe_3[AlSi_3]O_{10}(OH)_2$  : annit
- $K[Mg_2Al][Al_2Si_2]O_{10}(OH)_2$  : eastonit
- $NaMg_3[AlSi_3]O_{10}(OH)_2$  : Na-flogopit

### Muskovit

- $KAl_2[AlSi_3]O_{10}(OH)_2$  : muskovit
- $NaAl_2[AlSi_3]O_{10}(OH)_2$  : paragonit
- $CaAl_2[Al_2Si_2]O_{10}(OH)_2$  : margarit
- $K[MgAl][Si_4]O_{10}(OH)_2$  : Mg-Al-celadonit
- $K[FeAl][Si_4]O_{10}(OH)_2$  : Fe-Al-celadonit

- muskovit a biotit se objevují v metamorfovaných pelitech, psamitech a kyselých magmatických horninách od facie zelených břidlic po facii amfibolitovou (muskovit) a granulitovou (biotit)
- paragonit se někdy vyskytuje v nízce a středně metamorfovaných metapelitech nebo metabazitech a stejně jako muskovit je stabilní jen do amfibolitové facie
- biotit je hojný v mesozonálně metamorfovaných horninách, jako jsou pararuly, amfibolity a svory. Vyskytuje se i v některých skarnech a greisenech.



- flogopit je typický pro regionálně i kontaktně metamorfované vápence
- jemnozrnný muskovit vzniká hydrotermálně přeměnou silikátů, nejčastěji živců
- pro metamorfní petrologii je důležitá tschermakitová substituce ( $MgSiAl_2$ ) v muskovitech která indikuje růst tlaku (fengit)

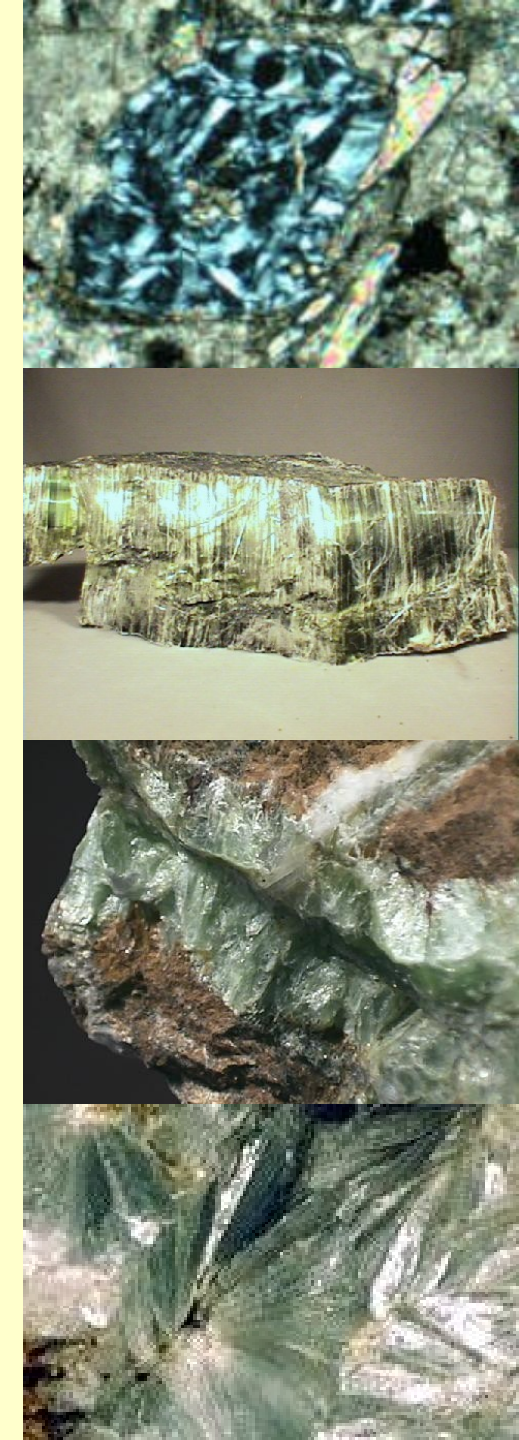
## Skupina chloritů

- složení lze zjednodušeně vyjádřit obecným vzorcem:  
$$(\text{Mg}_{6-x}\text{Al}_x)(\text{Si}_{4-x}\text{Al}_x)\text{O}_{10}(\text{OH},\text{O})_8$$
kde x nabývá hodnot od cca 0,6 do cca 1,6
- $\text{Mg}^{2+}$  je často částečně nahrazeno  $\text{Fe}^{2+}$  případně jiným dvojmocným kationtem,
- $\text{Al}^{3+}$  může nahradit  $\text{Fe}^{3+}$  případně jiný trojmocný kiont.
- V metamorfovaných hornin nízkého až středního stupně (facie zelených břidlic, zejména metabazity a metapelity)
- jsou sekundárními produkty hydratace primárních Mg-Fe silikátů, nejčastěji biotitu, pyroxenu, amfibolu, granátu či skel
- chloritizace může být způsobena:
  - (1) autometamorfózou, tj. působením plynů a roztoků v chladnoucím magmatu na již vykrystalizované minerály; např. spilitizace bazaltů,
  - (2) působením hydrotermálních roztoků



## Minerály serpentinové skupiny

- $\text{Mg}_3[\text{Si}_2\text{O}_5](\text{OH})_4$
- **lizardit, antigorit, chryzotil (hadcový azbest)**
- **Výskyt:** Všechny tři formy vznikají hydrotermálním rozkladem olivínu a Mg-pyroxenů při přeměně peridotitů, dunitů a pyroxenitů na serpentinity (hadce), méně často obdobnými pochody v mramorech a erlanech.
- **Serpentinizace:**  $2 \text{Mg}_2\text{SiO}_4 + 3 \text{H}_2\text{O} = \text{Mg}_3\text{Si}_2\text{O}_5(\text{OH})_4 + \text{Mg}(\text{OH})_2$



## Skupina mastku – pyrofylitu

- skupina trojvrstvých fylosilikátů, hlavní zástupci:
- trioktaedrický člen: mastek -  $\text{Mg}_3\text{Si}_4\text{O}_{10}(\text{OH})_2$  trikl.
- dioktaedrický člen: pyrofyllit -  $\text{Al}_2\text{Si}_4\text{O}_{10}(\text{OH})_2$  mon.

### Vznik

**Mastek** vzniká hydrotermálním přínosem  $\text{SiO}_2$  do hornin bohatých Mg:

- (1) přeměnou Mg-silikátů, např. olivínu, enstatitu, chloritu či tremolitu při metamorfóze ultrabazických hornin (krupníky, mastkové břidlice, některé serpentinity),
- (2) metasomaticky působením  $\text{SiO}_2$  bohatých roztoků na karbonátové horniny při kontaktní i regionální metamorfóze (dolomitové vápence, dolomity, magnezity).

**Pyrofyllit** vzniká jako produkt alterace živců hliníkem bohatých hornin v kyselém prostředí při teplotě nad 300 °C

- (1) při nižších teplotách vzniká ve stejném prostředí kaolinit, v alkalickém prostředí muskovit nebo montmorillonit
- (2) bývá přítomen v nízce metamorfovaných metapelitech

# MINERÁLY SKUPINY $\text{Al}_2\text{SiO}_5$

- Do skupiny  $\text{Al}_2\text{SiO}_5$  patří tři minerály které se vyskytují v Al bohatých hornin:

## Kyanit:

- trojklonný
- někdy obsahuje malé příměsi Fe.
- vyskytuje se v horninách metamorfovaných za vysokých tlaků

## Andalusit

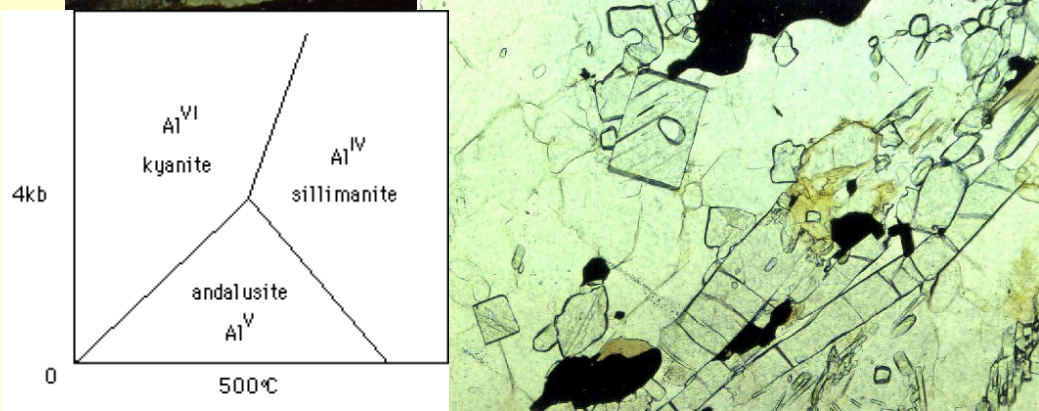
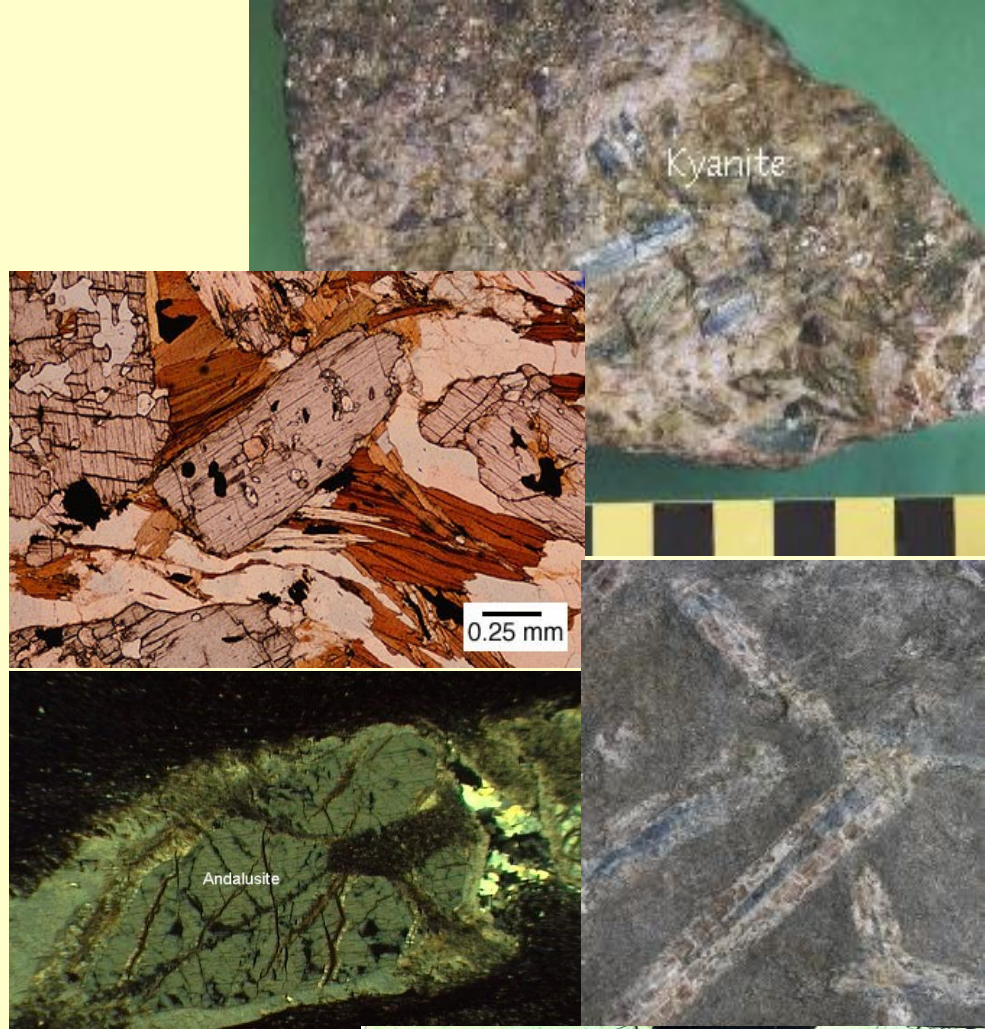
- kosočtverečný
- někdy příměsi Fe, Mg, Mn a alkalických prvků
- vyskytuje se v kontaktních aureolách

## Sillimanit

- kosočtverečný
- někdy muže obsahovat malé množství Fe a Ti
- vyskytuje se hlavně v Al bohatých metapelitech metamorfovaných v amfibolitové facii

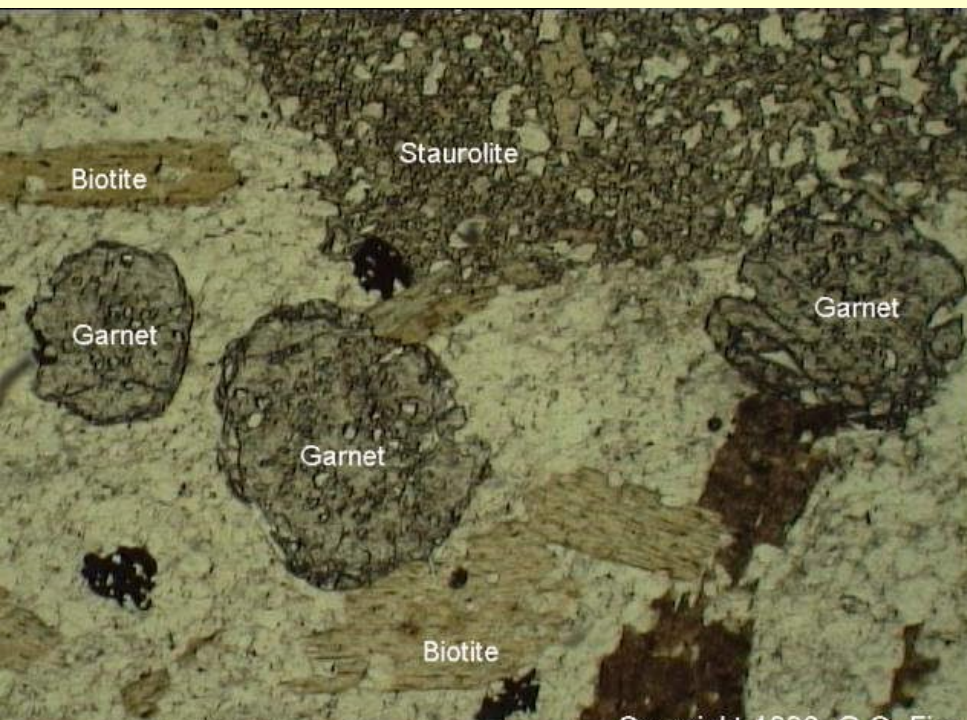
## Význam pro petrologii

- indikují PT podmínky vzniku horniny
- ukazují že v hornině je dostatek Al

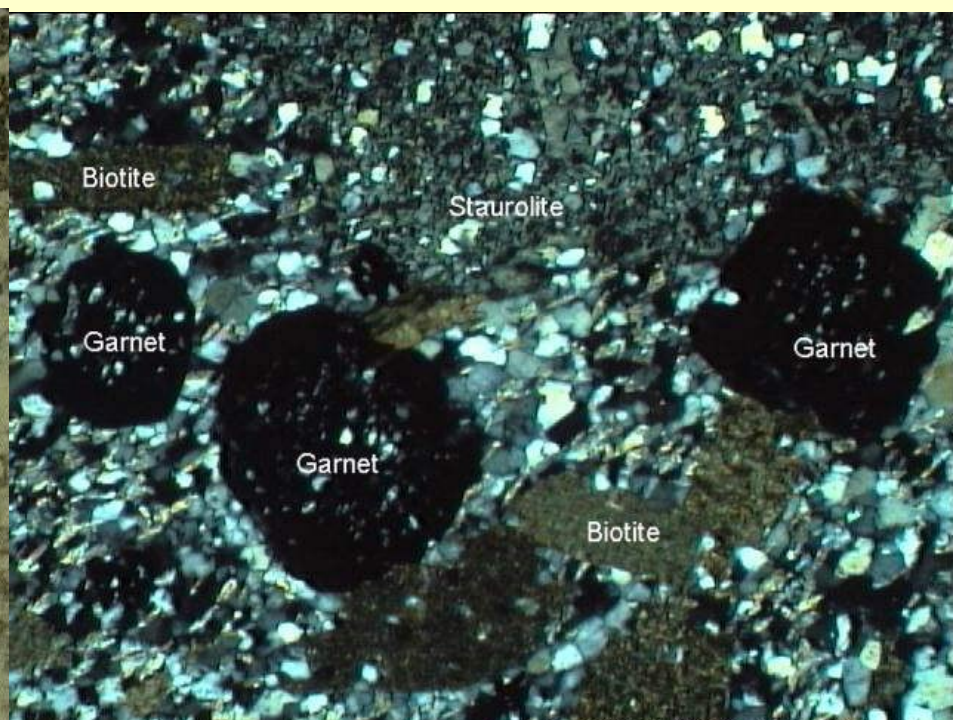


# GRANÁTY

- Minerály této skupiny mají obecný vzorec  $A_3^{2+}B_2^{3+}[SiO_4]_3$ .
- Pozici A obsazují dvojmocné kationty jako Mg, Fe<sup>2+</sup>, Mn, Ca
- Pozici B trojmocné kationty jako Al, Fe<sup>3+</sup>, Cr, V.
- Křemík může být v malém množství nahrazen Al.
- Granáty jsou krychlové minerály bez štěpnosti.



Copyright 1996, G.C. Finn

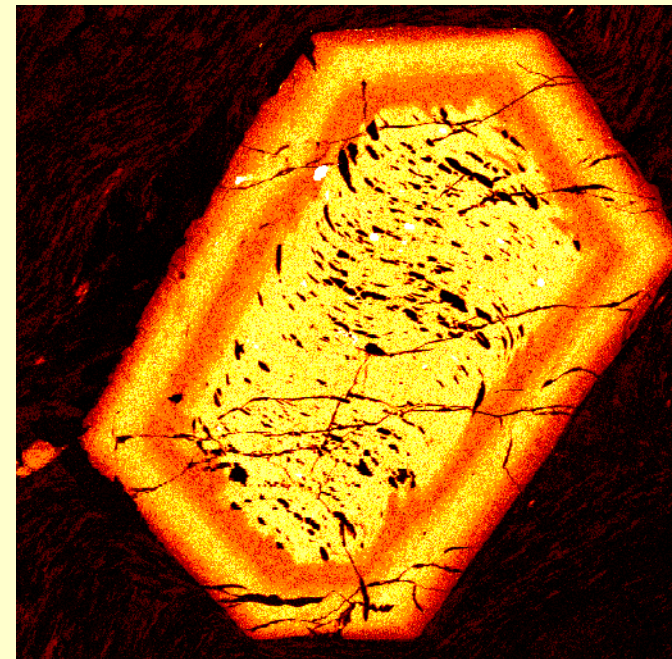
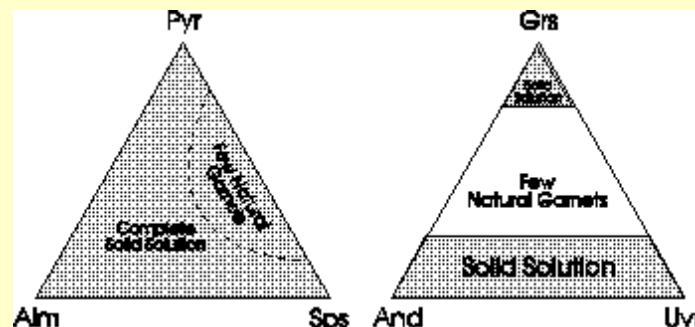


Copyright 1996, G.C. Finn

# GRANÁTY

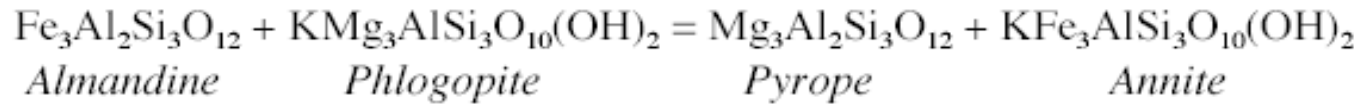
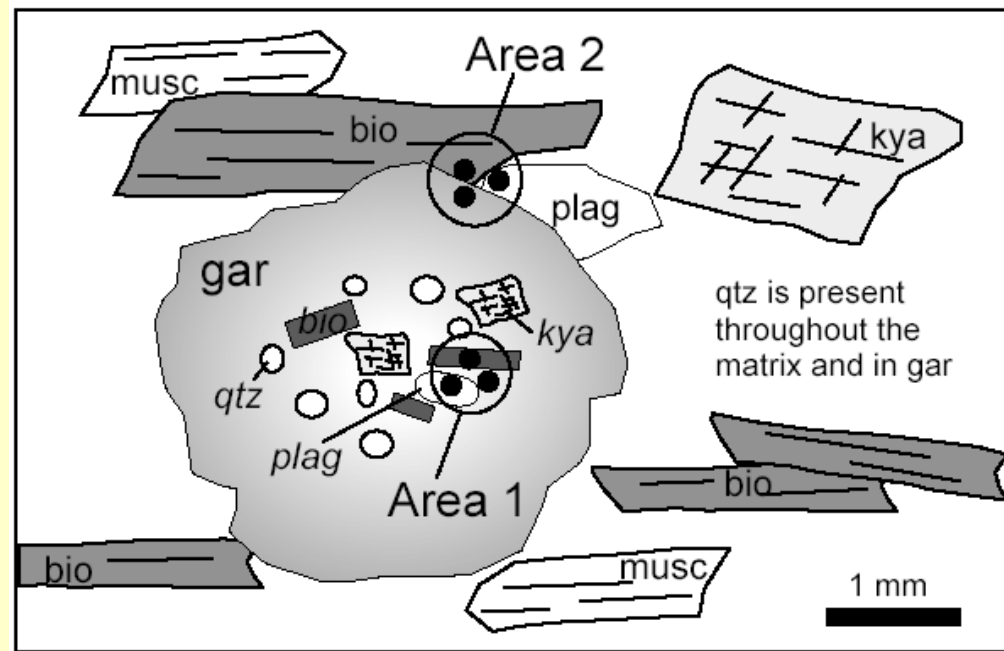
- Minerály této skupiny mají obecný vzorec  $A_3^{2+}B_2^{3+}[SiO_4]_3$ .
- Pozici A obsazují dvojmocné kationty jako Mg, Fe<sup>2+</sup>, Mn, Ca
- Pozici B trojmocné kationty jako Al, Fe<sup>3+</sup>, Cr, V.
- Křemík může být v malém množství nahrazen Al.
- Granáty jsou krychlové minerály bez štěpnosti.
- Skupinu granátů tvoří několik krajních členů mezi nimiž je velmi dobrá míšivost.
- Přírodní granáty proto obsahují vždy několik komponent :
- Pyrop  $Mg_3Al_2(SiO_4)_3$
- Almandin  $Fe_3Al_2(SiO_4)_3$
- Spessartin  $Mn_3Al_2(SiO_4)_3$
- Grosulár  $Ca_3Al_2(SiO_4)_3$
- Andradit  $Ca_3Fe_2(SiO_4)_3$
- Uvarovit  $Ca_3Cr_2(SiO_4)_3$

část pozic křemíku může být vakantní, aby byla zachována valenční rovnováha je v takové případě část atomů kyslíku nahrazena OH- skupinami (Hydrogranáty)



# Geotermometry a geobarometry

Granát –biotitový termometr např.  
FERRY & SPEAR (1978)



This distribution is described by the following equation:

$$\ln K_{\text{Fe-Mg}}^{\text{Gt-Bt}} = -\left(\frac{52,108}{3R}\right)\frac{1}{T} + \frac{19.51}{3R} - P\left(\frac{0.238}{3R}\right)\frac{1}{T}$$

where

$$K_{\text{Fe-Mg}}^{\text{Gt-Bt}} = \frac{X_{\text{Fe}}^{\text{Bt}} / X_{\text{Mg}}^{\text{Bt}}}{X_{\text{Fe}}^{\text{Gt}} / X_{\text{Mg}}^{\text{Gt}}} = \frac{(Fe/Mg)^{\text{Bt}}}{(Fe/Mg)^{\text{Gt}}}$$

Use cation values, not oxides!!

## Staurolit

- monoklinický
- typický metamorfní minerál (hlavně metapelity)
- $\text{Fe}_2\text{Al}_9\text{Si}_4\text{O}_{22}(\text{OH})_2$
- $\text{Fe}^{2+}$  je v tetraedrické koordinaci a může být nahrazováno  $\text{Mg}^{2+}$  a  $\text{Zn}^{2+}$
- většina staurolitů má je bohatá Fe:  $\text{Fe}/(\text{Fe}+\text{Mg}+\text{Zn}) = 0,86 - 0,55$
- $\text{Mg}/(\text{Fe}+\text{Mg}+\text{Zn}) = 0,09$  to  $0,28$

### Reakce produkování staurolitu:

- chloritoid + křemen = staurolit + granát
- chloritoid + chlorit + muskovit = staurolit + biotit + křemen + voda
- dehydratační reakce 400-500 °C

### Reakce konzumující staurolit:

- staurolit + muskovit + křemen = almandin +  $\text{Al}_2\text{O}_5$  + biotit + voda
- okolo 700 °C
- Mg staurolit je stabilní do vyšších teplot než Fe staurolit



## Chloritoid

- $(\text{Fe},\text{Mg})_2\text{Al}_4\text{Si}_2\text{O}_{10}(\text{OH})_4$
- metapelity
- chloritoid bohatý železem a někdy také Mn je běžný v nízce metamorfovaných metapelitech (fylity)
- **Vznik chloritoidu** (~ 400 °C):  $\text{Fe-chlorit} + \text{pyrofylit} = \text{Fe-chloritoid} + \text{křemen} + \text{H}_2\text{O}$
- **Reakce konzumující chloritoid** (~ 500 °C):  $\text{chloritoid} + \text{biotit} = \text{granát} + \text{chlorit}$ ,
- $\text{Fe-chloritoid} = \text{Fe-staurolit} + \text{almandin} + \text{H}_2\text{O}$  a  $\text{chloritoid} = \text{granát} + \text{chlorit} + \text{staurolit} + \text{H}_2\text{O}$

# Cordierit

- $(\text{Mg},\text{Fe})_2\text{Al}_3(\text{AlSi}_5\text{O}_{18})$
- rombický, pseudohexagonální
- štěpný podle  $\{100\}$ , odlučný podle  $\{001\}$
- snadno mění v jemně šupinaté šedé nebo zelenošedé agregáty muskovitu, biotitu nebo chloritu – pinit
- vyskytuje se v metamorfitech bohatých Al:  
v kontaktních rohovcích, plodových  
břidlicích, v LP/HT regionálně  
metamorfovaných horninách (ruly,  
migmatity), v metasedimentech bohatých na  
ortoamfiboly (cordierit-antofylitické skaliny)

Metapelity (LP/HT)

*Vznik cordieritu*

KMASH: flogopit + sillimanit = Mg-cordierit + muskovit

KMASH: flogopit + muskovit = Mg-cordierit + K-živec +  $\text{H}_2\text{O}$

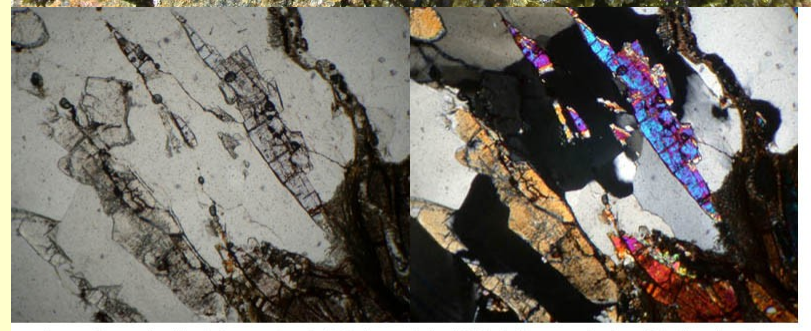
KFMASH: biotit + sillimanit = granát + cordierit +  $\text{H}_2\text{O}$



- **Skupina epidotu**
- Sorosilikáty
- monoklinické
- **epidot:**  $\text{Ca}_2(\text{FeAl})\text{Al}_2(\text{SiO}_4)(\text{Si}_2\text{O}_7)\text{O}(\text{OH})$
- **klinozoisit:**  $\text{Ca}_2\text{Al}_3((\text{SiO}_4)(\text{Si}_2\text{O}_7)\text{O}(\text{OH}))$
- kosočtverečný
- **zoisit:**  $\text{Ca}_2\text{Al}_3((\text{SiO}_4)(\text{Si}_2\text{O}_7)\text{O}(\text{OH}))$
- Výskyt: metabazity, karbonátové horniny

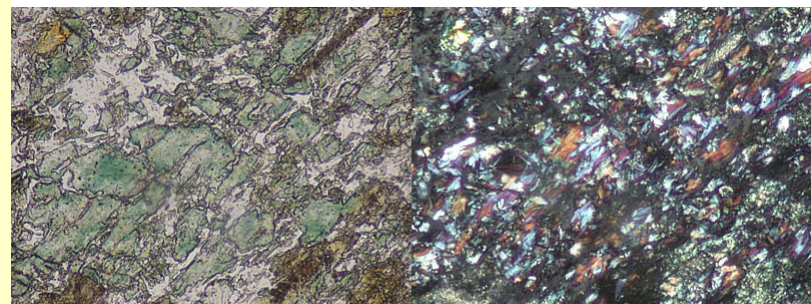


- **Lawsonit**
- Sorosilikát
- $\text{CaAl}_2\text{Si}_2\text{O}_7(\text{OH})_2 \cdot (\text{H}_2\text{O})$
- Výskyt: metabazity



Lawsonite porphyroblasts in a quartz vein; left: plane polarized light; right: crossed polars. Note the prismatic spindle shape of the crystals, and the birefringence (weaker than that of epidote).

- **Pumpellit**
- Sorosilikát
- $\text{Ca}_2(\text{Mg},\text{Fe})(\text{Al}, \text{Fe})_2(\text{SiO}_4) (\text{Si}_2\text{O}_7)(\text{OH})_2 \cdot (\text{H}_2\text{O})$
- Výskyt: metabazity



Pumpellyite crystals (green with anomalous interference colors) partially replacing a plagioclase phenocryst in a metabasalt.

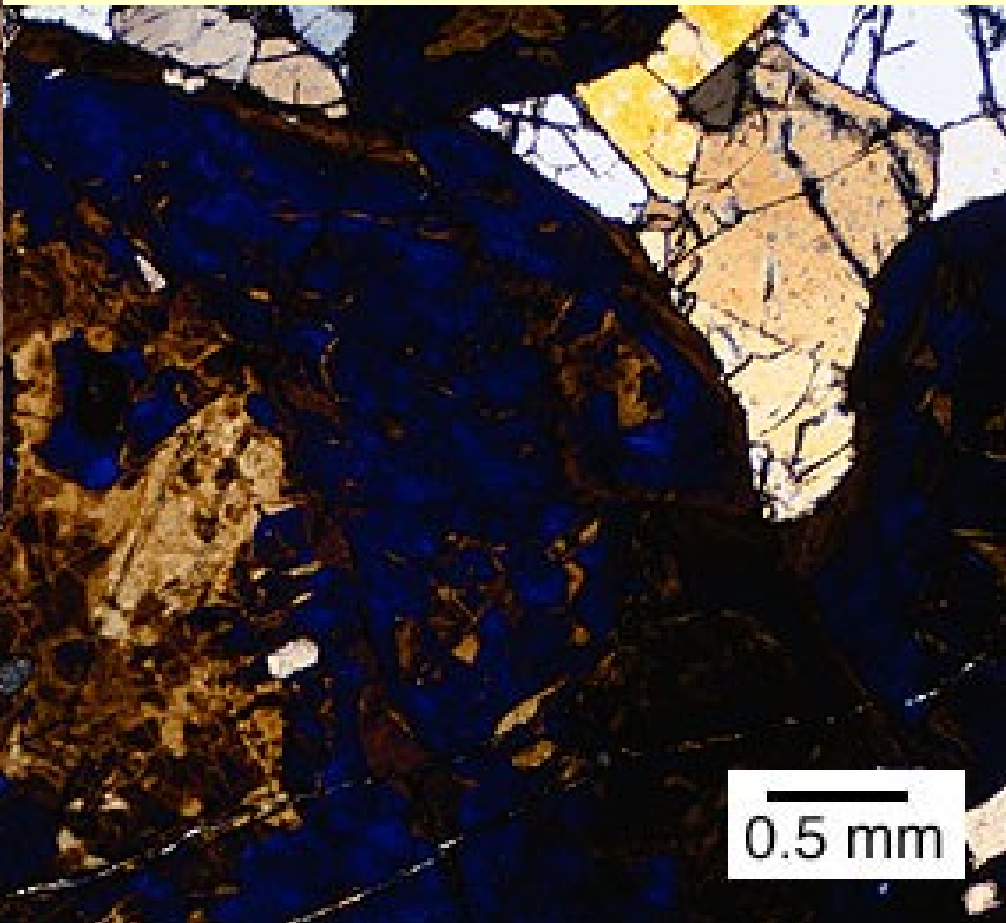
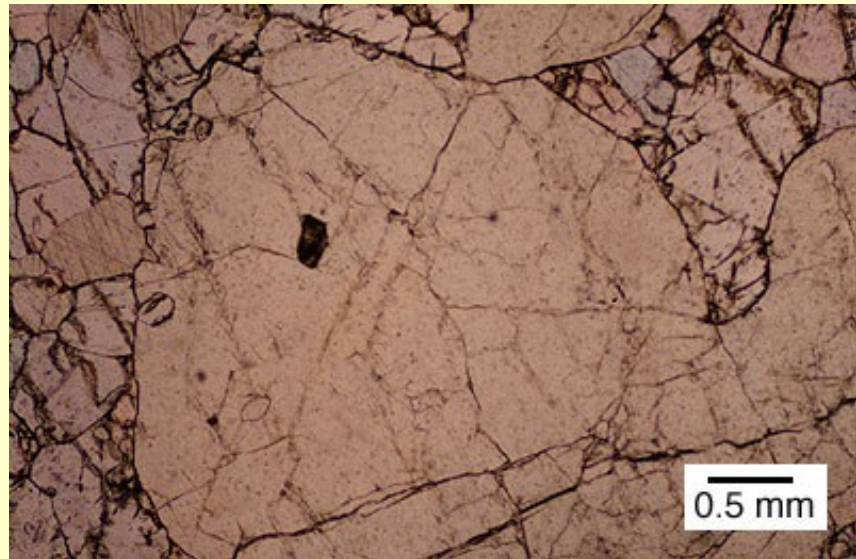
- **Prehnit**
- Sorosilikát
- $\text{Ca}_2\text{Al}_2\text{Si}_3\text{O}_{10}(\text{OH})_2$
- Výskyt: metabazity



Prehnite crystals in a vein. Note their moderate birefringence.

# Vesuvian

- $\text{Ca}_{10}(\text{Mg},\text{Fe})_2\text{Al}_4(\text{SiO}_4)_5(\text{Si}_2\text{O}_7)_2(\text{OH})_4$
- Vzniká nejčastěji v erlanech na kontaktech intruzivních kyselých hornin s karbonáty, spolu s grossulárem, diopsidem a wollastonitem.



# Olivín

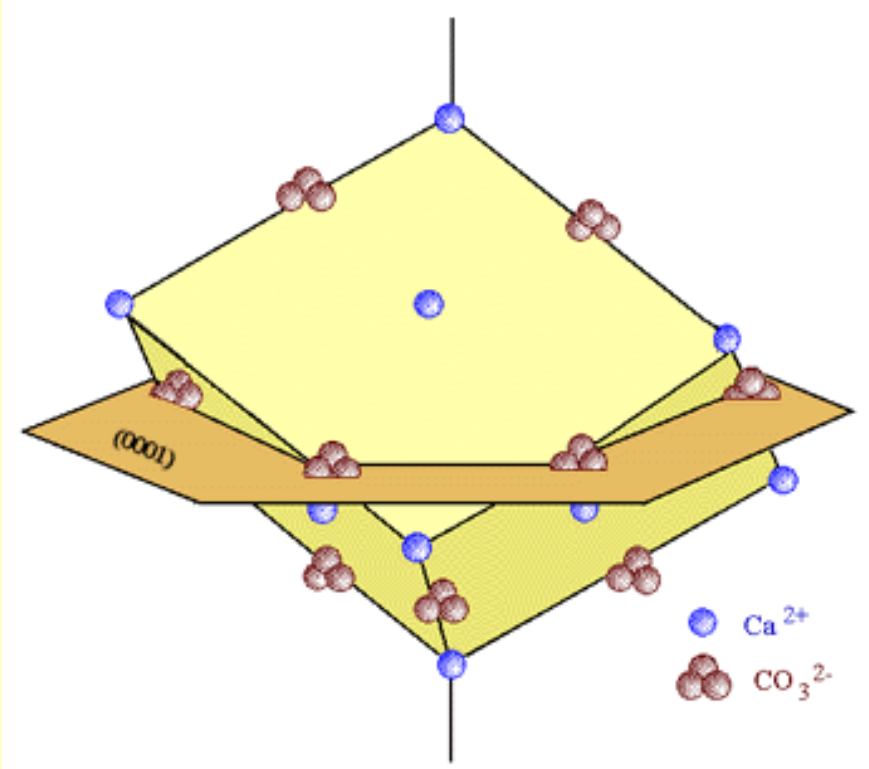
- Hlavně v mafických a ultramafických horninách
- Fayalit v metamorfovaných železných rudách a v některých alkalických granitoidech
- Forsterit ve metamorfovaných dolomitech

**Monticellit**  $\text{CaMgSiO}_4$   
 $\text{Ca} \rightarrow \text{M2}$  (velký ion)  
ve vysoko metamorfovaných karbonátech s příměsí silikátů.

$\text{M}_2\text{TO}_4$					
8-fold Octahedral ( $\text{O}_h$ ) Sites			4-fold Tetrahedral Site ( $T_d$ )		
$\text{M}_2$	T	NAME	Cation	r (Å)	
Mg	Mg	Forsterite	$\text{Mg}^{2+}$	0.72	
Fe	Fe	Fayalite	$\text{Fe}^{2+}$	0.78	
Mn	Mn	Tephroite	$\text{Mn}^{2+}$	0.83	
Ca	Mg	Monticellite	$\text{Ca}^{2+}$	1.00	
Ca	Fe	Kirschsteinite			
Ca	Mn	Glaucochroite			

# UHLIČITANY

- **KALCIT**  $\text{CaCO}_3$ , trigonální
  - Obsahuje jen malé množství příměsí jako je Mg, Fe, Mn méně často též Zn, Ba, Sr, Pb.
  - Štěpnost dokonalá podle klence (10<sub>11</sub>).
  - Některé odrůdy svítí v UV světle.
- 
- **MAGNEZIT**  $\text{Mg CO}_3$ , trigonální
  - Vždy obsahuje něco příměsí Mn, Ca či Fe.
  - Vytváří samostatnou horninu. Nebo muže být přítomen v dolomitických mramorech.



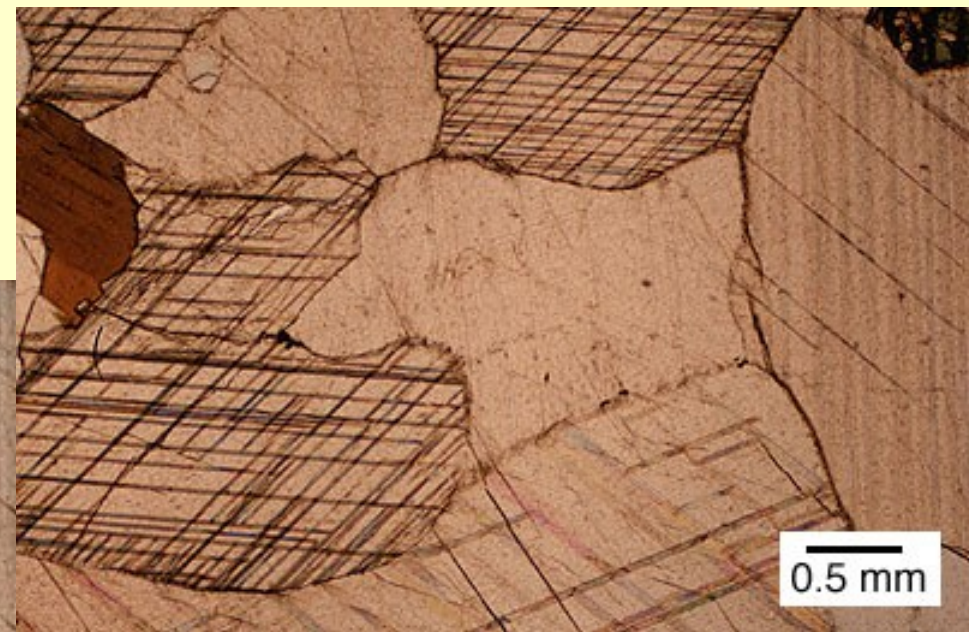
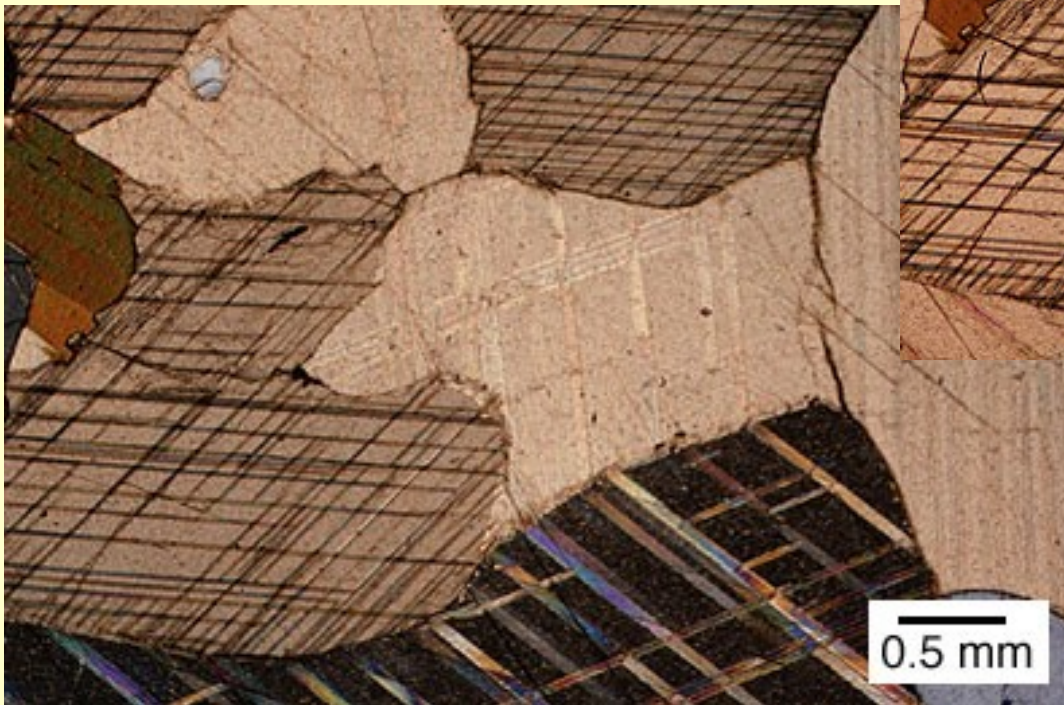
Obr. Struktura kalcitu

## DOLOMIT $\text{Ca Mg} (\text{CO}_3)_2$ , trigonalní

Chemicky je to podvojný uhličitan ve kterém se poměr mezi atomi Ca a Mg pohybuje kolem hodnoty 1:1.

Jako příměsi jsou časté Mn, Fe ve stopách pak Ba, Zn, Sr

- **SIDERIT**  $\text{FeCO}_3$  trigonální
- Část Fe může být zastoupena Mn nebo Ca či Mg.
- **ANKERIT**  $\text{Ca Fe}(\text{CO}_3)_2$  trigonální
- **RODOCHROZIT**  $\text{MnCO}_3$  trigonální
- Vždy má určitou příměs Fe a často též Ca, Mg nebo Zn. Je součástí metamorfovaných Mn rud.



Obr. Kalcit

# Akcesorické minerály

## A) Oxidy

### 1) Skupina spinelidů

- Skupina krychlových minerálů.
- Struktura: atomy kyslíku v krychlovém uspořádání s tetraedrickými a oktaedrickými mezerami obsazovanými atomy kovů (Fe, Mg, Mn, Zn, Al, Cr).
- Obecný vzorec  $AB_2O_4$ , kde A představuje dvojmocný a B trojmocný nebo čtyřmocný kov.
- Ve skupině spinelidů existuje mezi některými částečná nebo téměř úplná nebo míšivost.
- Právě struktura spinelidů ovlivňuje některé fyzikální vlastnosti které jsou typické pro celou tuto skupinu:
  - 1) Optická izotropie.
  - 2) Špatná nebo chybějící štěpnost.
  - 3) Chemická a tepelná stálost.
  - 4) Vysoká tvrdost.

- **Spinel MgAl<sub>2</sub>O<sub>4</sub>**: vyskytuje se hlavně v dolomitických vápencích (spolu s diopsidem a forsteritem).
- **Magnetit FeFe<sub>2</sub>O<sub>4</sub>**: Může obsahovat řadu příměsí (Mg, Ti, Mn, Cr, V). Za vyšších teplot může magnetit pojmut vyšší obsahy Ti, jehož přebytek se pak při snížení teploty odmísí jako lamely ilmenitu. Vyskytuje se ve skarnech a ultramafických horninách.
- **Chromit (Fe, Mg) Cr<sub>2</sub>O<sub>4</sub>**: Vyskytuje se především v ultrabazických horninách.
- **Hercinit FeAl<sub>2</sub>O<sub>4</sub>**: Vyskytuje se jako akcesorie v bazických horninách a v železem bohatých metasedimentech.
- **Ulvöspinel TiFe<sub>2</sub>O<sub>4</sub>**
- **Gahnit Zn Al<sub>2</sub>O<sub>4</sub>**
- **Franklinit ZnFe<sub>2</sub>O<sub>5</sub>**
- **Galaxit MnAl<sub>2</sub>O<sub>4</sub>**
- Využití: magnetit-ilmenitový termometr

## Skupina korundu

- Hexagonální minerály s podobnou strukturou
- **Korund Al<sub>2</sub>O<sub>3</sub>** - akcesorie v Al bohatých metamorfitech
- **Hematit Fe<sub>2</sub>O<sub>3</sub>** - součást metamorfovaných Fe-rud a jako akcesorie v bazických horninách
- **Ilmenit FeTiO<sub>3</sub>** - akcesorie hlavně v bazických horninách a metapelitech. Fe je často částečně zastupováno Mg, Mn

# B) SILIKÁTY

## Skupina turmalínu

• Chemický vzorec  $X Y_3 Z_6 [T_6 O_{18}] [BO_3]_3 V_3 W$

• pozice X může být obsazena:  $Na^+$ ,  $K^+$ ,  $Ca^{2+}$ ; pozice Y :  $Li^+$ ,  $Mg^{2+}$ ,  $Fe^{2+}$ ,  $Mn^{2+}$ ,  $Fe^{3+}$ ,  $Al^{3+}$ ,  $Cr^{3+}$ ,  $V^{3+}$ ,  $Ti^{4+}$ ; pozice Z :  $Al^{3+}$ ,  $Fe^{3+}$ ,  $Mg^{2+}$ ,  $V^{3+}$ ,  $Cr^{3+}$ ; pozice T : Si, Al, (B); pozice B : B, (□); pozice V : OH, O; pozice W: OH, F, O

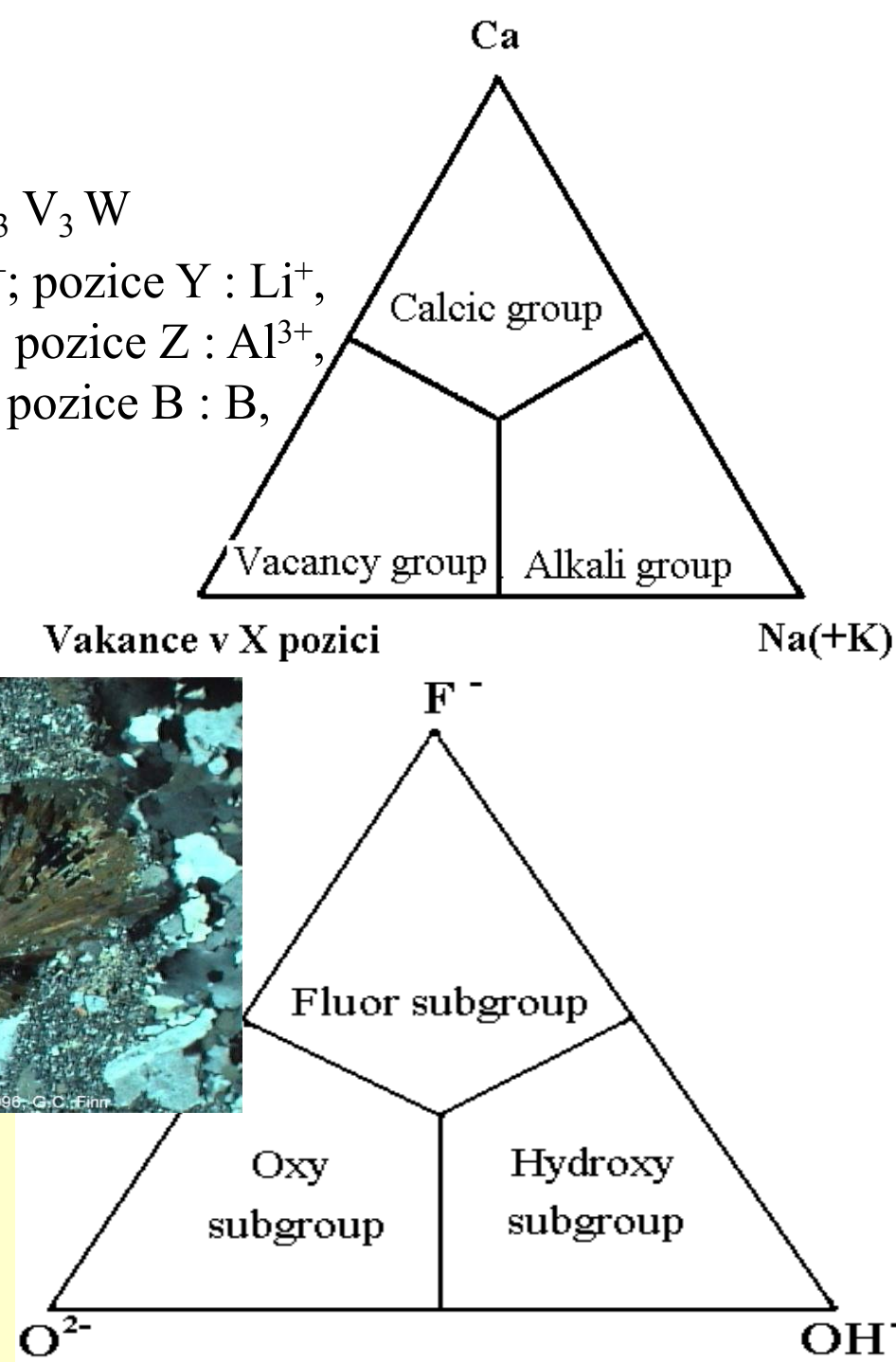
• Soustava: trigonální

• Cyklosilikáty s šestičetným kruhem

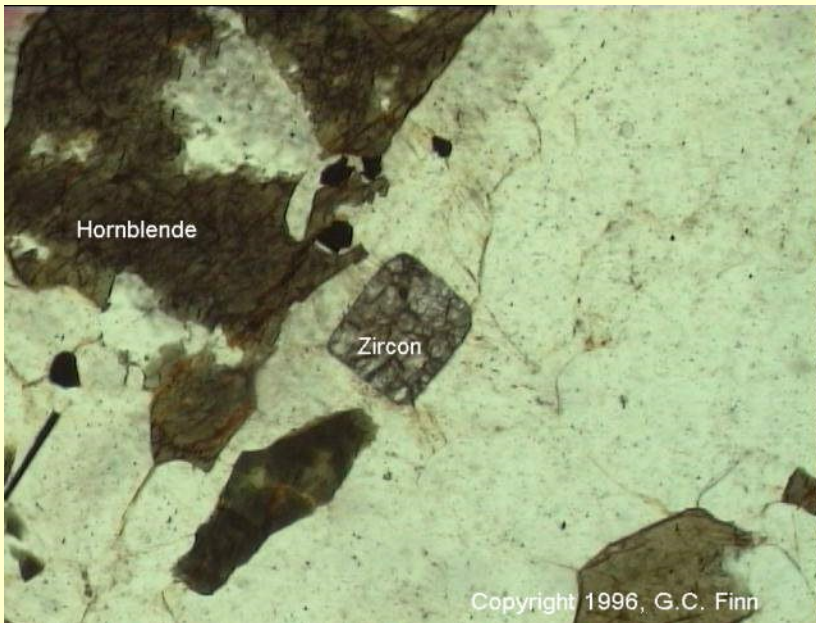
• Metapelity, metagranity



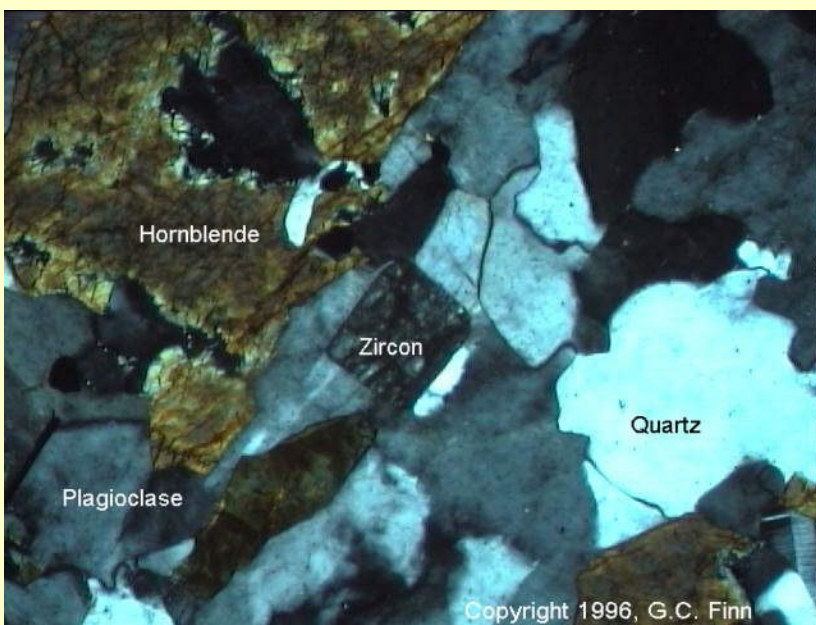
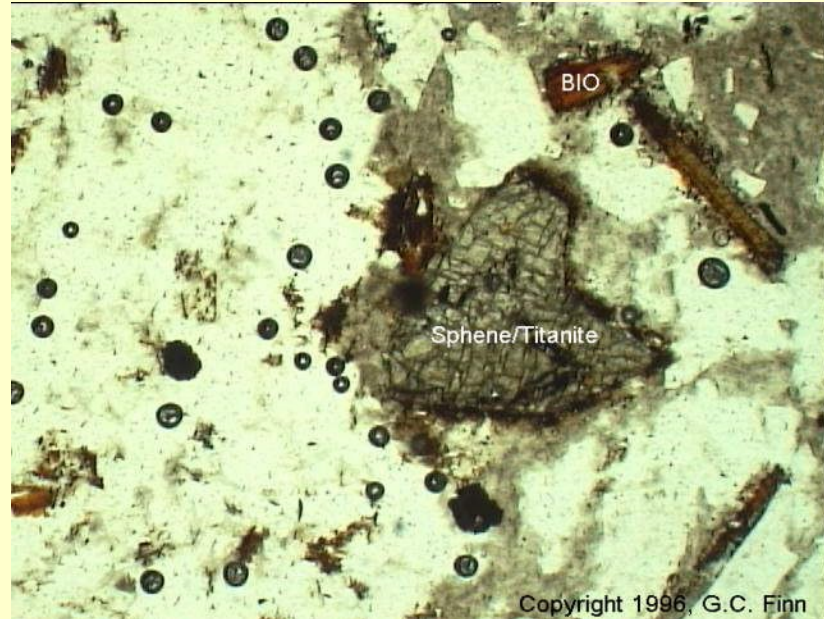
Copyright 1996, G.C. Finn



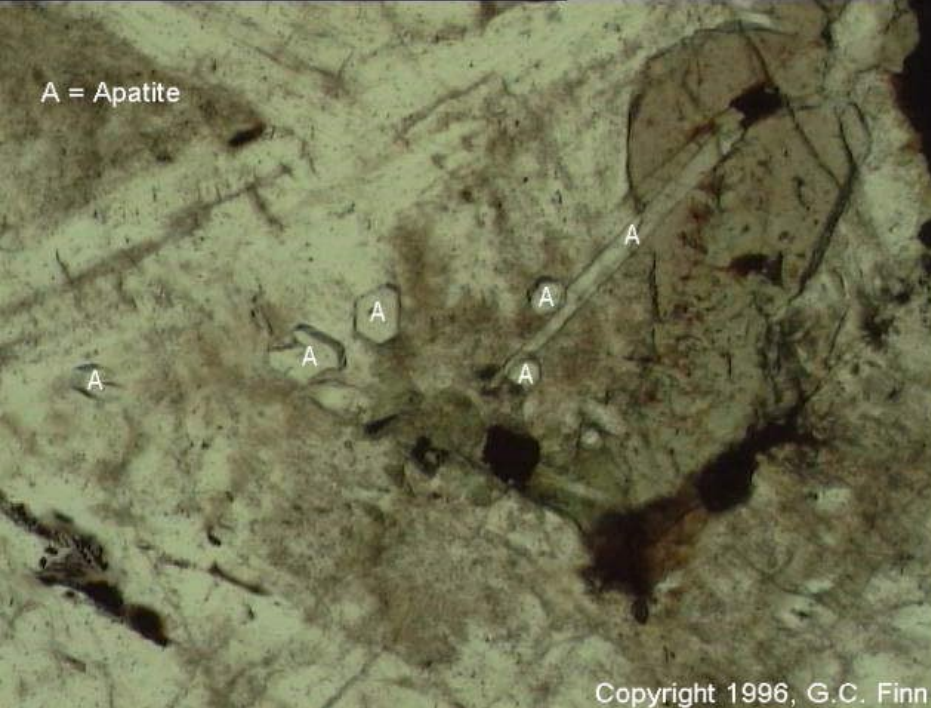
## • Zirkon Zr(SiO<sub>4</sub>)



## Titanit CaTi(O/SiO<sub>4</sub>)



A = Apatite



Copyright 1996, G.C. Finn

Monazit, xenotim

## C) Fosfáty

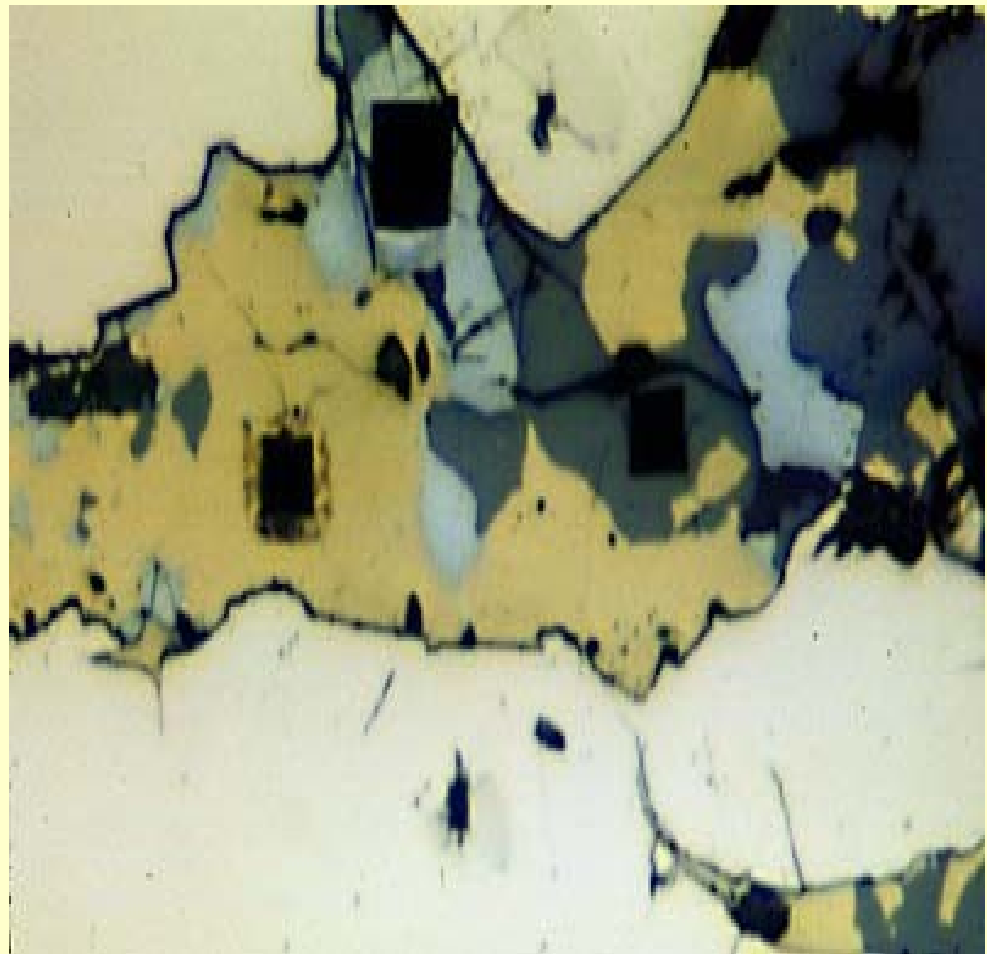
- Apatit
- hexagonální
- $\text{Ca}_5(\text{PO}_4)_3(\text{F},\text{OH},\text{Cl})$



Copyright 1996, G.C. Finn

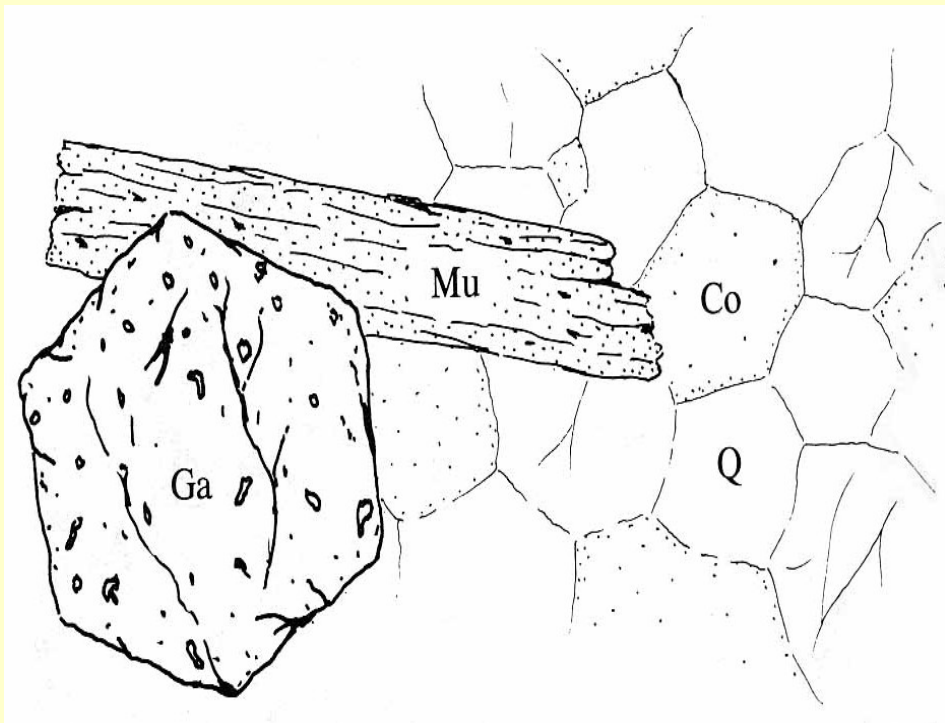
## D) Sulfidy

- Pyrhotin FeS
- Pyrit FeS<sub>2</sub>
- Pentlandit (Ni,Fe)<sub>9</sub>S<sub>8</sub>
- Chalkopyrit CuFeS<sub>2</sub>



Pyrit , chalkopyrite, sfalerite a galenit

# Krystalační síla



- *Automorfně omezené*
  - titanit, rutil, pyrit, spinel
  - granát, sillimanit, staurolit, turmalín
  - epidot, magnetit, ilmenit
  - andalusit, pyroxen, amfibol
  - slída, chlorit, dolomit, kyanit
  - kalcit, vesuvian, skapolit
  - živec, křemen, cordierit
- *Xenomorfně omezené*

- Podle zvyšujícího metamorfního stupně rostou v hornině (indexový) minerály:
- chlorit – biotit – granát – staurolit – kyanit – sillimanit (střednětlaká met.)
- posloupnost minerálů pro nízkotlakou metamorfózu: biotit – cordierit – andalusit – sillimanit

# Literatura

- Dudek, A. - Fediuk F. - Palivcová M. (1962): Petografické tabulky
- Hejtman, B. (1962): Petrografie metamorfovaných hornin
- Konopásek, J. – Štípská P. – Klárová H. – Schulmann K . (1998): Metamorfní petrologie
- Naprostá většina obrazového materiálu pochází z celé řady internetových stránek věnujících se metamorfní petrologii